

Práctica 1

Pablo Baeyens Fernández
Antonio Checa Molina
Iñaki Madinabeitia Cabrera
José Manuel Muñoz Fuentes
Darío Sierra Martínez

Algorítmica

Índice

1. Ejercicio 1	3
1.1. Tabla del algoritmo de burbuja	4
1.2. Tabla del algoritmo de selección	5
1.3. Tabla del algoritmo de inserción	6
1.4. Tabla de los algoritmos cuadráticos	7
1.5. Tabla del algoritmo Heapsort	8
1.6. Tabla del algoritmo Mergesort	9
1.7. Tabla del algoritmo Quicksort	10
1.8. Tabla de los algoritmos $n \cdot \log(n)$	11
1.9. Tabla del algoritmo cúbico (Floyd)	12
1.10. Tabla del algoritmo de Fibonacci ($O(\varphi^n)$)	13
1.11. Tabla del algoritmo de Hanoi ($O(2^n)$)	14
1.12. Tabla de los algoritmos de ordenación	15
2. Ejercicio 2	16
2.1. Gráfica de los algoritmos cuadráticos	16
2.2. Gráfica de los algoritmos $n \cdot \log(n)$	18
2.3. Gráfica del algoritmo de Floyd (cúbico)	20
2.4. Gráfica del algoritmo de Fibonacci ($O(\varphi^n)$)	20
2.5. Gráfica del algoritmo de Hanoi ($O(2^n)$)	21
2.6. Gráfica de los algoritmos de ordenación	21
3. Ejercicio 3	22
3.1. Eficiencia híbrida de los algoritmos cuadráticos	22
3.2. Eficiencia híbrida de los algoritmos $n \cdot \log(n)$	22
3.3. Eficiencia híbrida del algoritmo de Floyd	23
3.4. Eficiencia híbrida del algoritmo de Fibonacci	23
3.5. Eficiencia híbrida del algoritmo de Hanoi	23
3.6. Eficiencia híbrida: Comparativa	24
4. Ejercicio 4	27
4.1. Optimización de Burbuja	28
4.2. Optimización de Selección	29
4.3. Optimización de Inserción	30
4.4. Optimización de Quicksort	31
4.5. Optimización de Mergesort	32
4.6. Optimización de Heapsort	33

4.7. Optimización de Floyd	34
4.8. Optimización de Fibonacci	35
4.9. Optimización de Hanói	36
4.10. Conclusión	37

1. Ejercicio 1

En el ejercicio 1 se nos pide hallar la eficiencia empírica de los algoritmos presentados en la sesión. Para ello hemos modificado los códigos de los programas para que tengan como salida el tamaño que se les pasó como argumento junto al tiempo que han tardado en realizar la tarea del respectivo algoritmo. Usando la biblioteca *chrono* y la estructura que se menciona en la sesión se consiguen medir los tiempos de los programas de forma precisa.

Una vez hecho esto, se elaboró un script de bash para automatizar la ejecución de cada algoritmo con varios tamaños y recoger todas las salidas en un archivo para luego poder usar esos datos. El script es el siguiente:

```
#!/bin/bash
# Uso: nombredel ejecutable inicial salto final
# Ejemplo: fibonacci 10 5 80 ejecuta fibonacci 10, fibonacci 15, ..., fibonacci 80
# Salida: nombredel ejecutable.dat

> $(basename $1 .exe).dat
for i in $(seq $2 $3 $4); do
    ./$1 $i >> $(basename $1 .exe).dat
done
```

Las tablas generadas con este proceso se presentan a continuación, habiendo una tabla para cada orden de eficiencia y una última tabla que reúne los tiempos de todos los algoritmos de ordenación.

Todos los tiempos que se muestran en las tablas están en segundos, mientras que *Tamaño* menciona el tamaño total de la muestra con la que se obtuvo cada tiempo de ejecución: en los algoritmos de ordenación hace referencia a la capacidad del vector que se ordenaba, mientras que en Fibonacci o Hanói hace referencia a las iteraciones totales del programa.

Cada miembro del grupo ha ejecutado el script en un computador con las siguientes prestaciones:

PC de Antonio:

CPU: Intel® Core™ i7-4710HQ @2.50 GHz
RAM: 8 GB SO: Mint 17.3 64 bits

PC de Darío:

CPU: Intel® Core™ i7-4700HQ @2.40 GHz
RAM: 12 GB SO: Ubuntu 14.04 64-bit

PC de Iñaki:

CPU: Intel® Core™ i7-4510U @2.00 GHz
RAM: 8 GB SO: Mint 17.3 64 bits

PC de José Manuel:

CPU: Intel® Core™ i5-4200U @1.60 GHz
RAM: 4 GB SO: Windows 8.1 64 bits

PC de Pablo:

CPU: Intel® Core™ i7-4760HQ @2.10 GHz
RAM: 7.7 GB SO: Ubuntu 15.10 64 bits

Debido al tamaño de las tablas (ya que cada una debía tener al menos 25 entradas), cada tabla se muestra en una página.

Cabe destacar que la diferencia entre algoritmos de ordenación de un orden y de otro resulta tan pronunciada que los algoritmos de orden $n \cdot \log(n)$ se han ejecutado una segunda vez con un rango de valores en el que obtienen tiempos de ejecución minúsculos, muchos órdenes de magnitud por debajo del obtenido por los otros algoritmos de ordenación. En la tabla en la que se presentan se usan tamaños mucho mayores, mientras que en la tabla comparativa de algoritmos de ordenación toman estos mismos valores.

1.1. Tabla del algoritmo de burbuja

Tamaño	Antonio	Darío	Iñaki	José Manuel	Pablo
2000	0,011413	0,0146897	0,0140894	0,00961352	0,00950047
4000	0,0453449	0,0459751	0,0515536	0,0420678	0,0349755
6000	0,101489	0,104199	0,113751	0,103764	0,0854343
8000	0,181023	0,186132	0,202951	0,196277	0,157036
10000	0,285049	0,292014	0,317834	0,319125	0,256134
12000	0,412749	0,420102	0,467509	0,474853	0,377695
14000	0,564313	0,575514	0,637843	0,657486	0,523751
16000	0,736274	0,750603	0,831875	0,874744	0,6983
18000	0,9231	0,957501	1,05149	1,12075	0,893985
20000	1,14936	1,17477	1,2976	1,40219	1,11517
22000	1,38726	1,47318	1,56672	1,7091	1,35403
24000	1,64832	1,71407	1,85661	2,04022	1,62055
26000	1,93603	2,30372	2,1866	2,41593	1,91995
28000	2,24947	2,36352	2,52668	2,80527	2,24616
30000	2,56848	2,68279	2,90867	3,23442	2,56361
32000	2,92343	3,04424	3,32019	3,70037	2,92795
34000	3,31074	3,46101	3,72809	4,20884	3,42199
36000	3,71294	3,92597	4,19815	4,72597	3,73458
38000	4,16954	4,7286	4,67249	5,28111	4,28892
40000	4,74451	4,82232	5,15041	5,86181	4,73263
42000	5,26566	5,59224	5,69877	6,46732	5,13279
44000	5,87307	5,98763	6,25114	7,12322	5,6496
46000	6,53502	6,63358	6,82935	7,80777	6,16936
48000	7,32794	7,79745	7,43045	8,50997	6,76063
50000	8,1269	7,95426	8,08572	9,2569	7,48556

1.2. Tabla del algoritmo de selección

Tamaño	Antonio	Dario	Iñaki	José Manuel	Pablo
2000	0,00515467	0,0188928	0,0056981	0,00642196	0,0100637
4000	0,019939	0,0519322	0,0229513	0,0256021	0,0289865
6000	0,0433264	0,0570531	0,0484921	0,0570988	0,048992
8000	0,0764116	0,0828212	0,085303	0,101468	0,0826678
10000	0,121217	0,121786	0,133457	0,158756	0,126158
12000	0,177811	0,175157	0,192178	0,22877	0,181783
14000	0,244628	0,238585	0,260748	0,311101	0,249812
16000	0,320919	0,310348	0,344565	0,416511	0,323524
18000	0,410265	0,393202	0,436515	0,515545	0,409696
20000	0,509134	0,484858	0,532265	0,636664	0,505402
22000	0,61807	0,612123	0,647896	0,770943	0,611046
24000	0,739096	0,697154	0,765415	0,92343	0,727033
26000	0,872412	0,817823	0,902801	1,07721	0,853734
28000	1,01093	0,949272	1,04346	1,25703	0,990795
30000	1,16345	1,08959	1,20025	1,43408	1,13651
32000	1,33592	1,33227	1,36391	1,63213	1,30253
34000	1,50895	1,62408	1,5385	1,84905	1,46012
36000	1,70088	1,71456	1,72302	2,07075	1,63606
38000	1,91222	1,89498	1,91741	2,30688	1,82284
40000	2,12327	2,27765	2,12458	2,56224	2,0183
42000	2,35229	2,29655	2,34051	2,81587	2,22564
44000	2,60759	2,42883	2,56741	3,09183	2,44306
46000	2,8435	2,9669	2,80465	3,37761	2,67054
48000	3,11111	3,185	3,05395	3,66923	2,90848
50000	3,40647	3,47501	3,3125	3,98744	3,15386

1.3. Tabla del algoritmo de inserción

Tamaño	Antonio	Darío	Iñaki	José Manuel	Pablo
2000	0,0044917	0,00745713	0,00500529	0,00545271	0,0136858
4000	0,0186884	0,0182933	0,0211343	0,0212218	0,0240584
6000	0,0377812	0,0394224	0,0423133	0,0478191	0,0388833
8000	0,0669812	0,0683471	0,0749079	0,0855453	0,07279
10000	0,107932	0,107475	0,119386	0,139938	0,106441
12000	0,154884	0,153773	0,171897	0,191814	0,153352
14000	0,213453	0,209259	0,230161	0,259945	0,207844
16000	0,280269	0,271604	0,306819	0,348722	0,272146
18000	0,368311	0,345483	0,394836	0,43881	0,344915
20000	0,443013	0,426531	0,471464	0,535028	0,423007
22000	0,541246	0,644623	0,575623	0,642579	0,512299
24000	0,649446	0,614673	0,669068	0,768137	0,615278
26000	0,760331	0,903855	0,816444	0,903978	0,711269
28000	0,882182	0,950041	0,915119	1,05197	0,828786
30000	1,03487	1,06675	1,05814	1,20102	0,947152
32000	1,18717	1,11084	1,19949	1,37548	1,07939
34000	1,33726	1,76733	1,35952	1,53781	1,21549
36000	1,51744	1,5771	1,51431	1,7434	1,3987
38000	1,70203	1,88235	1,68403	1,92846	1,51493
40000	1,87561	1,94893	1,88228	2,15878	1,68276
42000	2,08887	2,29417	2,09879	2,34337	1,84894
44000	2,30682	2,12463	2,26926	2,58382	2,02091
46000	2,54603	2,73282	2,46238	2,82213	2,22809
48000	2,79809	2,59309	2,66613	3,07817	2,41128
50000	3,02904	3,52064	2,92835	3,32697	2,62017

1.4. Tabla de los algoritmos cuadráticos

Incluimos una tabla comparando los datos de una sólo persona para los algoritmos de orden cuadrático:

Tamaño	Tiempo de Burbuja	Tiempo de Inserción	Tiempo de Selección
2000	0,0141	0,005	0,0057
4000	0,0516	0,0211	0,023
6000	0,1138	0,0423	0,0485
8000	0,203	0,0749	0,0853
10000	0,3178	0,1194	0,1335
12000	0,4675	0,1719	0,1922
14000	0,6378	0,2302	0,2608
16000	0,8319	0,3068	0,3446
18000	1,0515	0,3948	0,4365
20000	1,2976	0,4715	0,5323
22000	1,5667	0,5756	0,6479
24000	1,8566	0,6691	0,7654
26000	2,1866	0,8164	0,9028
28000	2,5267	0,9151	1,0435
30000	2,9087	1,0581	1,2003
32000	3,3202	1,1995	1,3639
34000	3,7281	1,3595	1,5385
36000	4,1982	1,5143	1,723
38000	4,6725	1,684	1,9174
40000	5,1504	1,8823	2,1246
42000	5,6988	2,0988	2,3405
44000	6,2511	2,2693	2,5674
46000	6,8294	2,4624	2,8047
48000	7,4305	2,6661	3,054
50000	8,0857	2,9284	3,3125

1.5. Tabla del algoritmo Heapsort

Tamaño	Antonio	Dario	Iñaki	José Manuel	Pablo
1000000	0,22421	0,29581	0,252793	0,305145	0,298779
2000000	0,500762	0,488327	0,557837	0,687773	0,516744
3000000	0,833796	0,862668	0,923097	1,13871	0,816685
4000000	1,17323	1,30803	1,26719	1,56775	1,15558
5000000	1,54404	1,77557	1,66226	2,03485	1,52638
6000000	1,9243	1,99408	2,06275	2,53414	1,85543
7000000	2,35331	2,48359	2,46109	3,03014	2,24277
8000000	2,76399	2,86937	2,89135	3,53461	2,61264
9000000	3,20945	3,38923	3,30651	4,05931	2,98857
10000000	3,62159	3,97747	3,69426	4,57383	3,34685
11000000	4,09924	4,16954	4,14343	5,11395	3,77043
12000000	4,63249	4,54798	4,6038	5,64885	4,12332
13000000	5,0709	5,08649	5,06756	6,19867	4,54708
14000000	5,55749	5,5935	5,51359	6,73735	4,94788
15000000	6,13142	5,77158	5,96415	7,31606	5,38968
16000000	6,57542	6,79831	6,40422	7,86827	5,78389
17000000	7,11513	6,95513	6,93151	8,42371	6,22592
18000000	7,60767	7,84526	7,39067	9,00969	6,58787
19000000	8,18748	7,61565	7,85371	9,5756	7,03859
20000000	8,6704	8,15118	8,35113	10,1822	7,4932
21000000	9,14739	8,49386	8,85375	10,7763	7,98279
22000000	9,68533	8,7519	9,26481	11,3518	8,33516
23000000	10,1561	12,3292	9,70679	11,9304	8,76102
24000000	10,6587	11,7971	10,2619	12,4831	9,21482
25000000	11,2477	11,9356	10,7142	13,1053	9,69064

1.6. Tabla del algoritmo Mergesort

Tamaño	Antonio	Darío	Iñaki	José Manuel	Pablo
1000000	0,217543	0,41989	0,245436	0,301188	0,260094
2000000	0,453951	0,944787	0,508929	0,624731	0,477345
3000000	0,782204	1,60546	0,883956	1,0693	0,817615
4000000	0,942283	1,76623	1,06884	1,30794	0,991948
5000000	1,35111	2,59677	1,42201	1,74213	1,32955
6000000	1,64402	3,23115	1,80438	2,24784	1,70433
7000000	1,73735	3,125	1,88077	2,33259	1,74689
8000000	2,05693	4,02999	2,21405	2,75695	2,06821
9000000	2,41358	4,73714	2,56327	3,17912	2,40275
10000000	2,59924	5,95524	2,94302	3,60459	2,75836
11000000	2,97113	6,1202	3,32014	4,10528	3,20704
12000000	3,37961	6,88797	3,73637	4,58481	3,46971
13000000	3,73061	6,84617	4,03523	5,08856	3,76172
14000000	3,67511	6,15036	3,89364	4,83557	3,61966
15000000	4,10348	7,34219	4,24867	5,24825	3,94948
16000000	4,44356	8,05125	4,57914	5,70737	4,26975
17000000	4,85593	7,76039	4,95366	6,13015	4,61115
18000000	5,33545	7,92355	5,30502	6,56022	4,93584
19000000	5,69309	8,92073	5,67961	7,13455	5,27359
20000000	6,09616	10,3971	6,07057	7,49875	5,64695
21000000	6,56725	10,9268	6,45905	7,96927	6,0763
22000000	6,99638	11,7692	6,86264	8,45273	6,3987
23000000	7,37357	11,9725	7,27508	9,01187	6,76389
24000000	7,85359	12,1088	7,76361	9,49399	7,15444
25000000	8,30719	12,8678	8,11788	10,0094	7,57097

1.7. Tabla del algoritmo Quicksort

Tamaño	Antonio	Darío	Iñaki	José Manuel	Pablo
1000000	0,140354	0,184352	0,158862	0,201315	0,151376
2000000	0,290671	0,30058	0,333955	0,417716	0,315613
3000000	0,451042	0,661469	0,51239	0,647102	0,493536
4000000	0,609228	0,782993	0,689444	0,891546	0,677623
5000000	0,768809	0,958429	0,87572	1,10639	0,834242
6000000	0,939232	1,24997	1,06316	1,35262	1,02652
7000000	1,09785	1,55516	1,25421	1,58457	1,19163
8000000	1,26473	1,56534	1,44825	1,84108	1,37806
9000000	1,43536	2,0214	1,63635	2,06708	1,57758
10000000	1,62045	1,93912	1,80254	2,32434	1,72557
11000000	1,79408	2,53682	2,01344	2,56235	1,95905
12000000	1,95441	2,36726	2,21136	2,79477	2,10258
13000000	2,12925	2,98066	2,39937	3,06728	2,30709
14000000	2,30318	3,0189	2,58933	3,31356	2,50474
15000000	2,45234	4,09368	2,78644	3,58529	2,68512
16000000	2,62369	4,13583	2,98485	3,78366	2,83059
17000000	2,81701	4,44071	3,17474	4,04963	3,04674
18000000	3,02744	5,05181	3,35808	4,28425	3,22857
19000000	3,26244	5,36954	3,56303	4,53229	3,41292
20000000	3,44172	5,0034	3,80315	4,80884	3,59846
21000000	3,69781	5,38552	3,95077	5,0512	3,77894
22000000	3,94126	4,58768	4,17141	5,31982	3,93762
23000000	4,20059	5,19099	4,37102	5,52691	4,11956
24000000	4,36635	5,74367	4,55899	5,80511	4,35852
25000000	4,59738	6,59753	4,77483	6,07513	4,53331

1.8. Tabla de los algoritmos $n \cdot \log(n)$

Incluimos una tabla comparando los datos de una sólo persona para los algoritmos de orden $n \cdot \log(n)$:

Tamaño	Tiempo de Heapsort	Tiempo de Mergesort	Tiempo de Quicksort
1000000	0,158862	0,25279	0,245436
2000000	0,333955	0,55784	0,508929
3000000	0,512390	0,92310	0,883956
4000000	0,689444	1,26719	1,068840
5000000	0,875720	1,66226	1,422010
6000000	1,063160	2,06275	1,804380
7000000	1,254210	2,46109	1,880770
8000000	1,448250	2,89135	2,214050
9000000	1,636350	3,30651	2,563270
10000000	1,802540	3,69426	2,943020
11000000	2,013440	4,14343	3,320140
12000000	2,211360	4,60380	3,736370
13000000	2,399370	5,06756	4,035230
14000000	2,589330	5,51359	3,893640
15000000	2,786440	5,96415	4,248670
16000000	2,984850	6,40422	4,579140
17000000	3,174740	6,93151	4,953660
18000000	3,358080	7,39067	5,305020
19000000	3,563030	7,85371	5,679610
20000000	3,803150	8,35113	6,070570
21000000	3,950770	8,85375	6,459050
22000000	4,171410	9,26481	6,862640
23000000	4,371020	9,70679	7,275080
24000000	4,558990	10,26190	7,763610
25000000	4,774830	10,71420	8,117880

1.9. Tabla del algoritmo cúbico (Floyd)

Tamaño	Antonio	Darío	Iñaki	José Manuel	Pablo
30	0,000224592	0,000625181	0,000280424	0,000377972	0,000661632
60	0,00139668	0,00436842	0,00160165	0,00186576	0,00177925
90	0,00455954	0,0127786	0,00577986	0,00536881	0,00472752
120	0,0097123	0,0259036	0,0112503	0,0125177	0,010524
150	0,0186866	0,0403935	0,0211072	0,024806	0,0200893
180	0,0314451	0,0545344	0,0354685	0,0415796	0,0331452
210	0,0493398	0,068169	0,0557242	0,066283	0,0546722
240	0,0735784	0,0830902	0,0824679	0,0996575	0,0776118
270	0,104221	0,106563	0,119058	0,141979	0,110954
300	0,142323	0,266759	0,160319	0,191908	0,153871
330	0,189639	0,200361	0,213182	0,256834	0,200217
360	0,244835	0,252152	0,281825	0,361676	0,258797
390	0,314773	0,390241	0,358154	0,445757	0,328791
420	0,38828	0,442938	0,437591	0,544358	0,411143
450	0,477007	0,633834	0,543534	0,664972	0,514789
480	0,579336	0,71726	0,6525	0,811809	0,614376
510	0,692464	0,847743	0,790683	0,965839	0,735368
540	0,824832	0,845673	0,929593	1,13903	0,867032
570	0,970557	1,2688	1,09787	1,34232	1,0229
600	1,12768	1,43524	1,27982	1,56178	1,21841
630	1,30571	1,40966	1,47915	1,82847	1,37284
660	1,50015	1,86322	1,70325	2,05882	1,57793
690	1,71206	2,14037	1,94156	2,35806	1,80162
720	1,94615	2,29222	2,19971	2,70095	2,04387
750	2,27876	2,69492	2,48584	3,03609	2,3061

1.10. Tabla del algoritmo de Fibonacci ($O(\varphi^n)$)

Tamaño	Antonio	Darío	Iñaki	José Manuel	Pablo
1	1,44e-07	4,62e-07	1,79e-07	4,47e-007	4,14e-07
2	1,66e-07	3,61e-07	1,88e-07	0	4,41e-07
3	1,68e-07	4,92e-07	2,05e-07	4,46e-007	3,94e-07
4	2,13e-07	5,87e-07	2,89e-07	4,46e-007	3,12e-07
5	3,51e-07	6,73e-07	2,61e-07	4,46e-007	3,79e-07
6	2,56e-07	8,18e-07	2,87e-07	4,46e-007	5,01e-07
7	4,33e-07	1,192e-06	4,65e-07	4,47e-007	5,96e-07
8	6,82e-07	1,495e-06	7,53e-07	4,46e-007	9,79e-07
9	8,29e-07	1,998e-06	1,131e-06	8,92e-007	1,149e-06
10	1,129e-06	2,099e-06	1,365e-06	8,92e-007	1,204e-06
11	1,508e-06	2,809e-06	1,796e-06	1,339e-006	1,738e-06
12	2,103e-06	4,078e-06	1,671e-06	2,231e-006	2,197e-06
13	2,937e-06	5,269e-06	3,612e-06	2,678e-006	2,959e-06
14	4,122e-06	7,71e-06	7,294e-06	3,57e-006	4,125e-06
15	5,257e-06	1,0745e-05	7,834e-06	6,248e-006	7,237e-06
16	7,144e-06	1,6585e-05	1,2102e-05	9,371e-006	9,85e-06
17	1,1107e-05	2,4038e-05	1,7977e-05	1,428e-005	1,658e-05
18	2,3568e-05	3,9647e-05	2,9478e-05	2,3205e-005	4,2568e-05
19	3,6087e-05	6,3033e-05	5,3614e-05	3,6593e-005	4,557e-05
20	6,0297e-05	9,6353e-05	7,2343e-05	6,6491e-005	6,1424e-05
21	9,3336e-05	0,000151545	0,000132759	9,4604e-005	0,000106961
22	0,000150115	0,000234141	0,000189094	0,000151725	0,000179575
23	0,000252328	0,000394602	0,000315282	0,000245436	0,000255183
24	0,000407404	0,000636784	0,000499445	0,000396269	0,000367779
25	0,000630981	0,000971833	0,000675111	0,00063992	0,000665583

1.11. Tabla del algoritmo de Hanoi ($O(2^n)$)

Tamaño	Antonio	Darío	Iñaki	José Manuel	Pablo
1	1,79e-07	1,42e-07	1,85e-07	4,46e-007	1,62e-07
2	2,04e-07	2,19e-07	2,52e-07	4,46e-007	2,67e-07
3	2,85e-07	2,43e-07	3,63e-07	4,47e-007	3,66e-07
4	4,31e-07	4,31e-07	5,65e-07	4,46e-007	3,76e-07
5	6,54e-07	6,14e-07	5,96e-07	8,93e-007	5,04e-07
6	9,35e-07	9,77e-07	1,206e-06	8,92e-007	8,44e-07
7	1,491e-06	1,565e-06	1,909e-06	1,338e-006	1,352e-06
8	2,662e-06	2,828e-06	3,047e-06	1,785e-006	2,494e-06
9	4,721e-06	4,856e-06	5,639e-06	3,57e-006	4,151e-06
10	8,768e-06	9,126e-06	1,1064e-05	7,586e-006	8,902e-06
11	1,7136e-05	1,7779e-05	2,1002e-05	1,2941e-005	1,7212e-05
12	3,3296e-05	4,7348e-05	3,7705e-05	2,5436e-005	3,0929e-05
13	6,5735e-05	4,9866e-05	7,8102e-05	4,998e-005	5,3298e-05
14	0,0001304	0,000125187	0,000165379	9,9067e-005	0,000143205
15	0,000260012	0,000283557	0,000334135	0,000196349	0,000311968
16	0,0004433	0,000540179	0,000589484	0,000392252	0,000537804
17	0,000772841	0,000963856	0,000988963	0,000784504	0,000884214
18	0,00179249	0,00187487	0,0017404	0,00156811	0,00177677
19	0,0034136	0,00421687	0,00368885	0,00314516	0,00348128
20	0,00649934	0,00700705	0,00684205	0,00634163	0,0068969
21	0,0121097	0,0145301	0,0136331	0,0125967	0,0131647
22	0,0242689	0,0278337	0,0273772	0,0251711	0,0258905
23	0,0482416	0,0520844	0,05418	0,0505224	0,0551346
24	0,0957113	0,103093	0,107202	0,100599	0,102831
25	0,19084	0,205991	0,214262	0,201252	0,203966

1.12. Tabla de los algoritmos de ordenación

Tamaño	Burbuja	Inserción	Selección	Heapsort	Mergesort	Quicksort
2000	0,014089400	0,00501	0,005698	0,000235	0,000272	0,000255
4000	0,051553600	0,02113	0,022951	0,000509	0,000580	0,000381
6000	0,113751000	0,04231	0,048492	0,000883	0,001106	0,000627
8000	0,202951000	0,07491	0,085303	0,001128	0,001366	0,000811
10000	0,317834000	0,11939	0,133457	0,001417	0,001760	0,001152
12000	0,467509000	0,17190	0,192178	0,001813	0,002363	0,001354
14000	0,637843000	0,23016	0,260748	0,002180	0,002288	0,001517
16000	0,831875000	0,30682	0,344565	0,002435	0,002648	0,001768
18000	1,051490000	0,39484	0,436515	0,002733	0,003157	0,001986
20000	1,297600000	0,47146	0,532265	0,003284	0,003823	0,002305
22000	1,566720000	0,57562	0,647896	0,003487	0,004252	0,002436
24000	1,856610000	0,66907	0,765415	0,003741	0,004980	0,002720
26000	2,186600000	0,81644	0,902801	0,004212	0,004381	0,002916
28000	2,526680000	0,91512	1,043460	0,004471	0,004894	0,003335
30000	2,908670000	1,05814	1,200250	0,004781	0,005159	0,003443
32000	3,320190000	1,19949	1,363910	0,005306	0,005530	0,003685
34000	3,728090000	1,35952	1,538500	0,005509	0,006219	0,003967
36000	4,198150000	1,51431	1,723020	0,005901	0,006601	0,004178
38000	4,672490000	1,68403	1,917410	0,006102	0,007015	0,004356
40000	5,150410000	1,88228	2,124580	0,006620	0,007535	0,004715
42000	5,698770000	2,09879	2,340510	0,006936	0,008117	0,004858
44000	6,251140000	2,26926	2,567410	0,007331	0,009466	0,005189
46000	6,829350000	2,46238	2,804650	0,007502	0,009306	0,005421
48000	7,430450000	2,66613	3,053950	0,007841	0,009883	0,005697
50000	8,085720000	2,92835	3,312500	0,008407	0,010657	0,005931

2. Ejercicio 2

En el ejercicio 2 se pide realizar las gráficas de los algoritmos, que hemos realizado metiendo en *gnuplot* los datos mostrados en las tablas anteriores, con los siguientes resultados:

2.1. Gráfica de los algoritmos cuadráticos

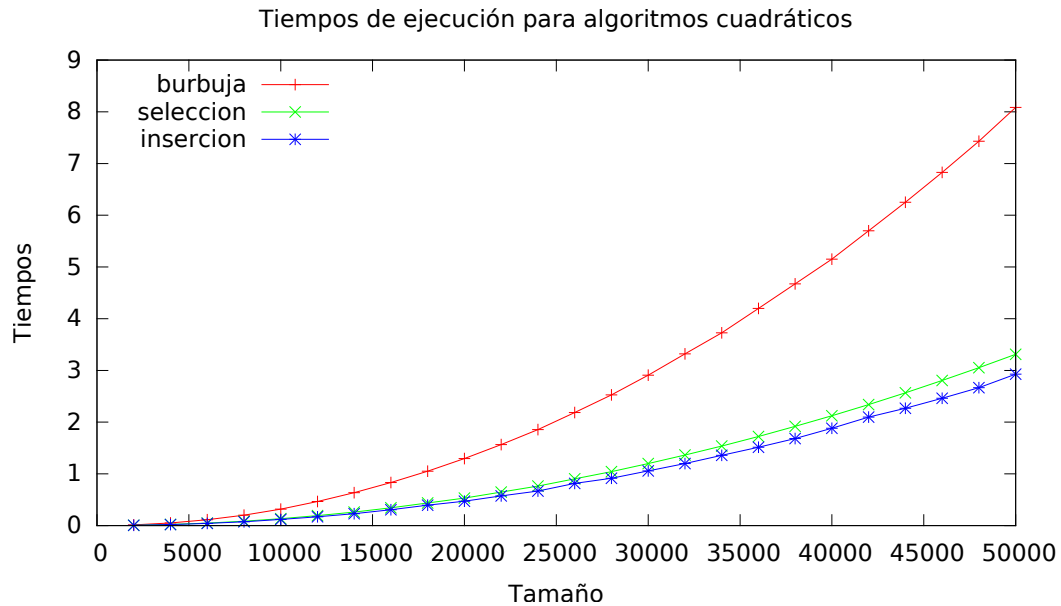


Figura 1: Algoritmos cuadráticos

El algoritmo de la burbuja requiere más del doble de tiempo que cualquiera de los otros dos, que se encuentran casi igualados, teniendo un menor tiempo el de inserción. Probablemente este menor tiempo sea el motivo de que en *quicksort* y *mergesort* se use el algoritmo de inserción para subvectores pequeños.

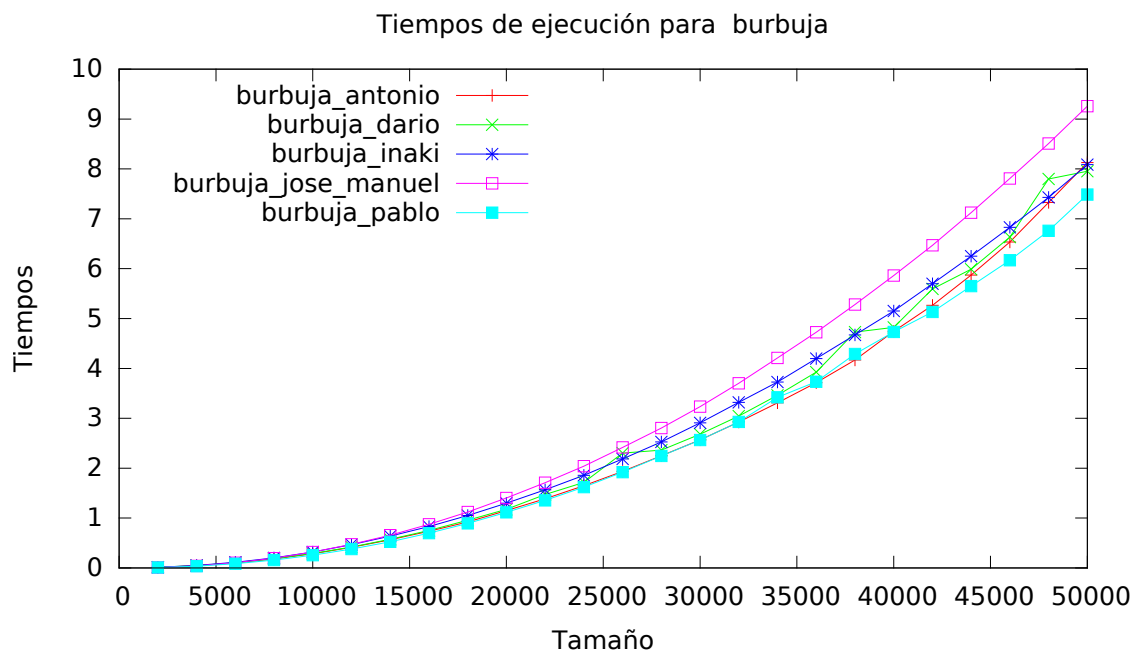


Figura 2: Algoritmo de burbuja

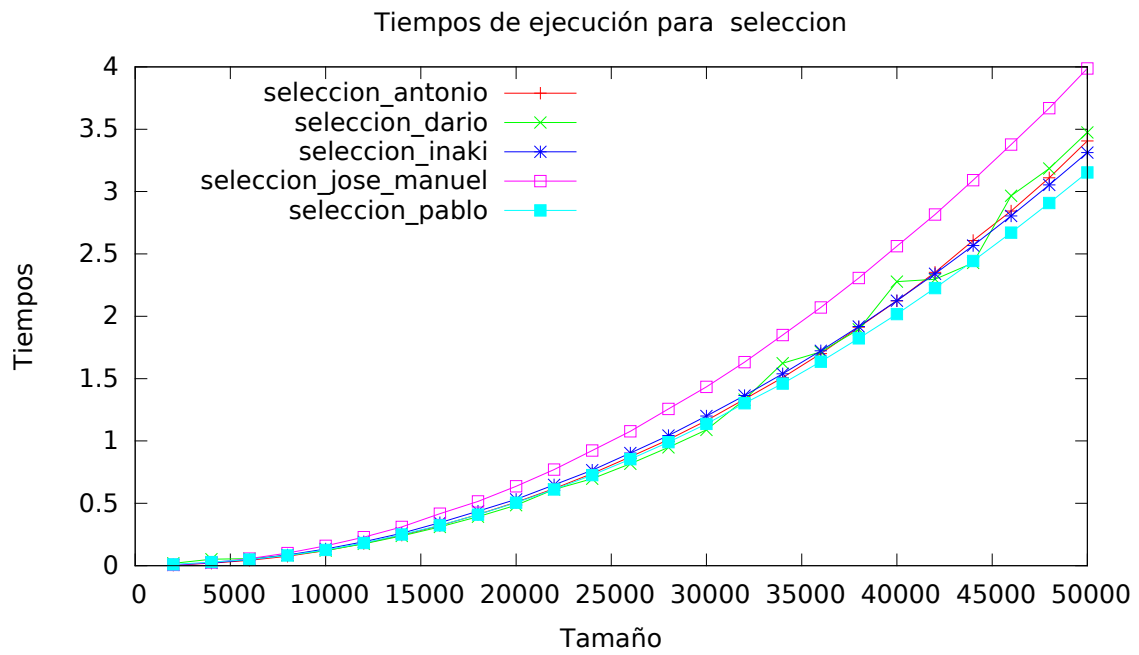


Figura 3: Algoritmo de selección

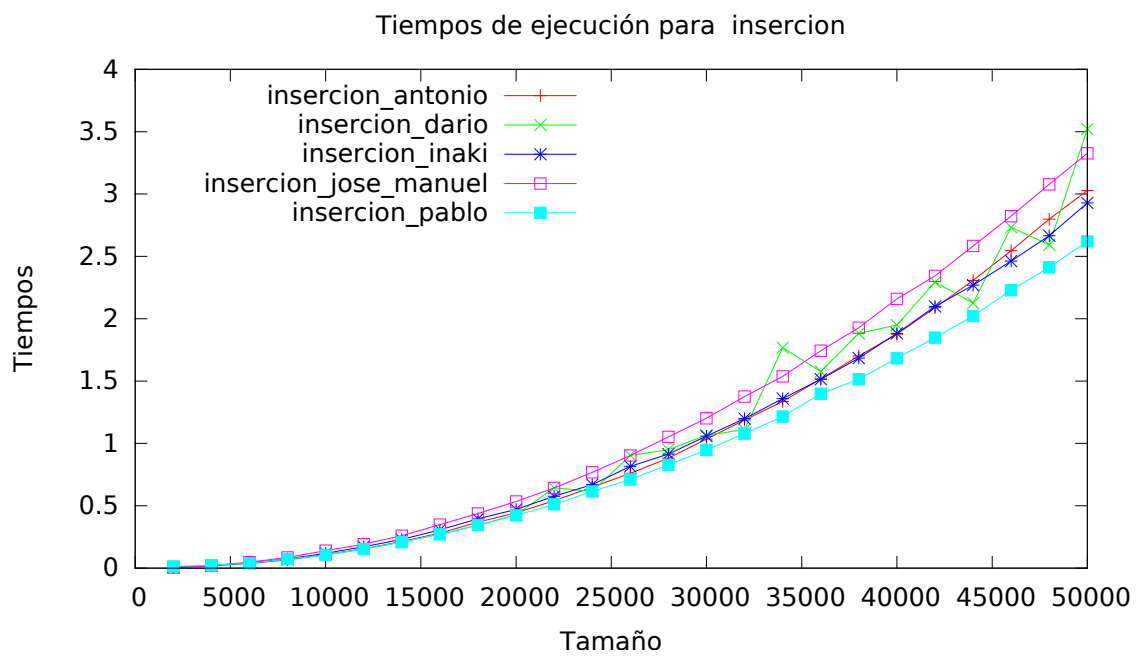


Figura 4: Algoritmo de inserción

2.2. Gráfica de los algoritmos $n \cdot \log(n)$

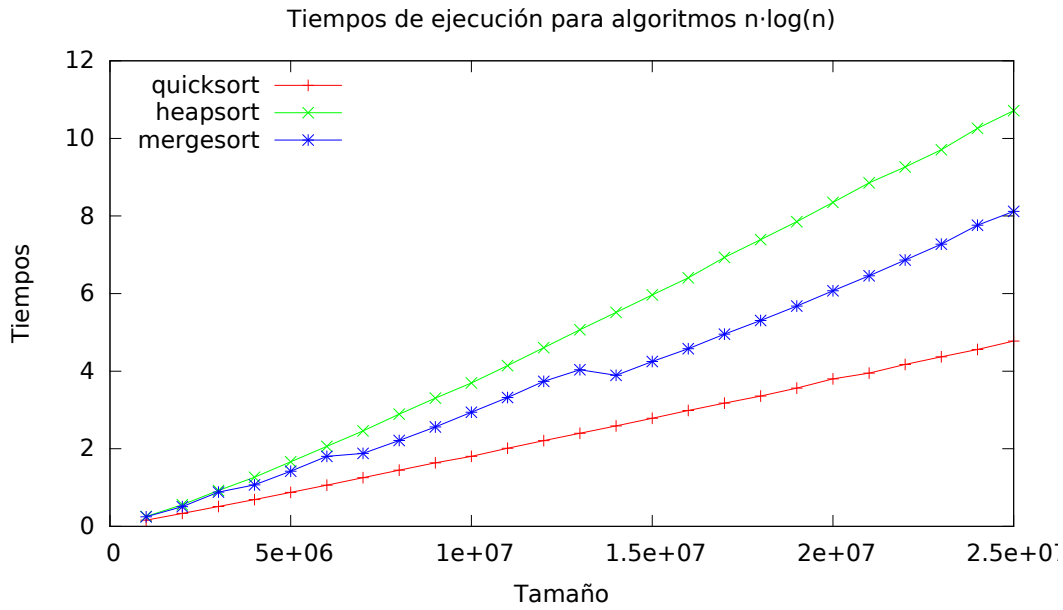


Figura 5: Algoritmos $n \cdot \log(n)$

En el algoritmo *mergesort* se aprecian pequeños escalones. Probablemente en cada escalón se incrementa el número de llamadas recursivas, de forma que el tamaño de los subvectores para los que se llama a la función de ordenado por selección (que actúa para tamaños de entrada pequeños) es menor. El algoritmo *quicksort* también usa el algoritmo de inserción por debajo de cierto umbral, pero usa un umbral más pequeño. Esto puede ser la causa de que no presente los escalones.

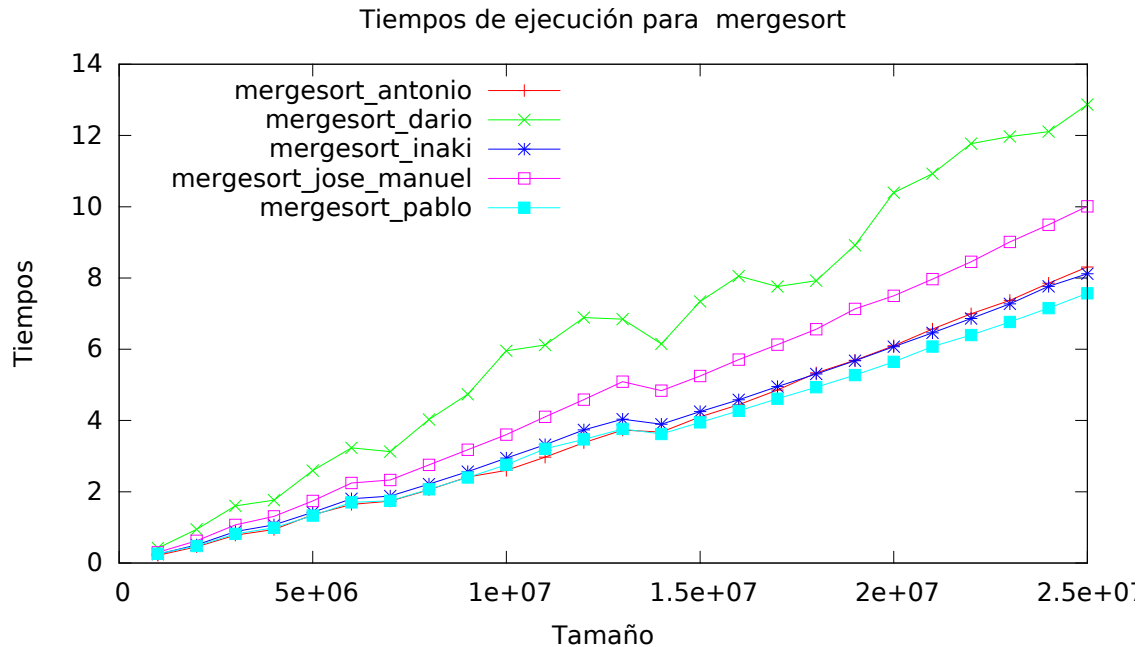


Figura 6: Algoritmo Mergesort

Aquí se observa que los escalones aparecen en todas las ejecuciones en distintas máquinas.

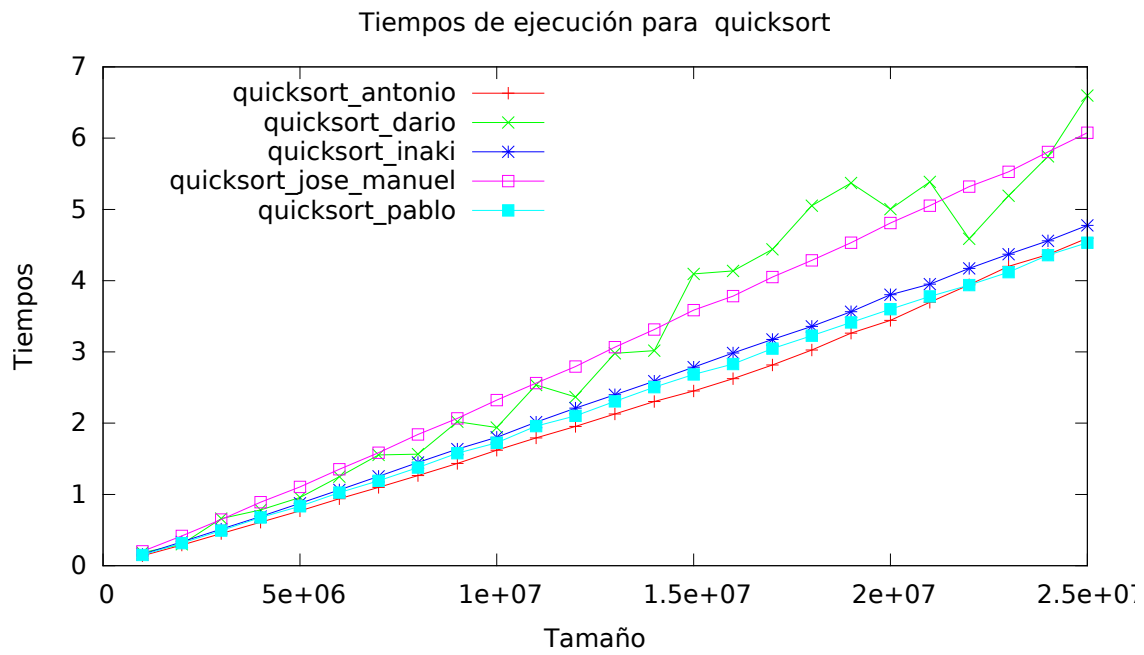


Figura 7: Algoritmo Quicksort

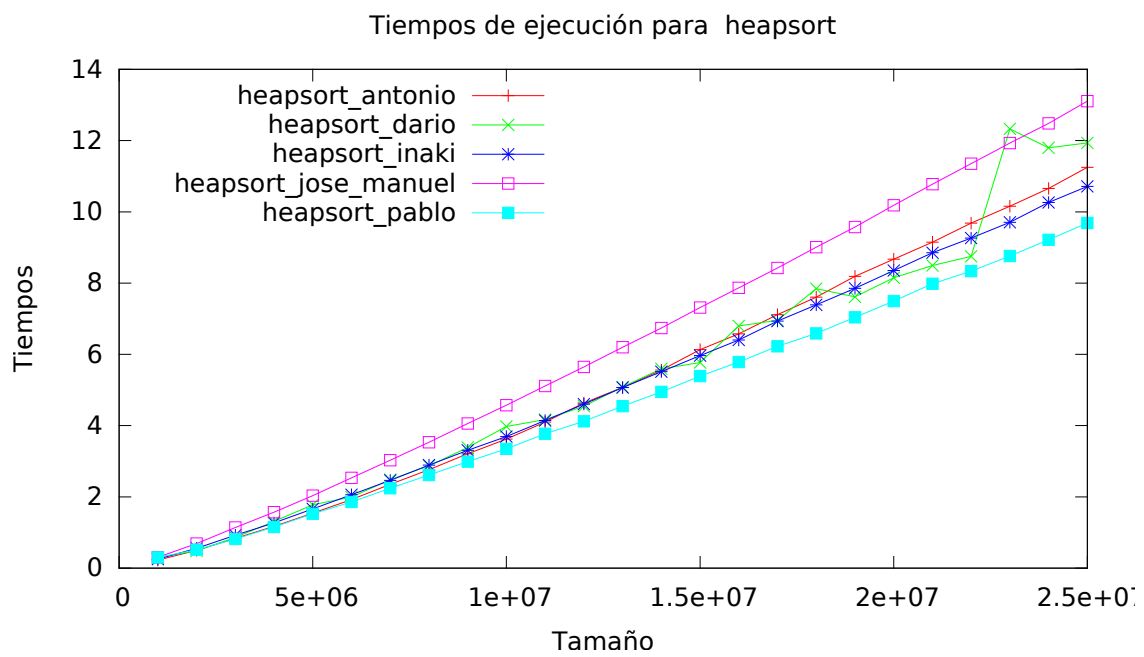


Figura 8: Algoritmo Heapsort

2.3. Gráfica del algoritmo de Floyd (cúbico)

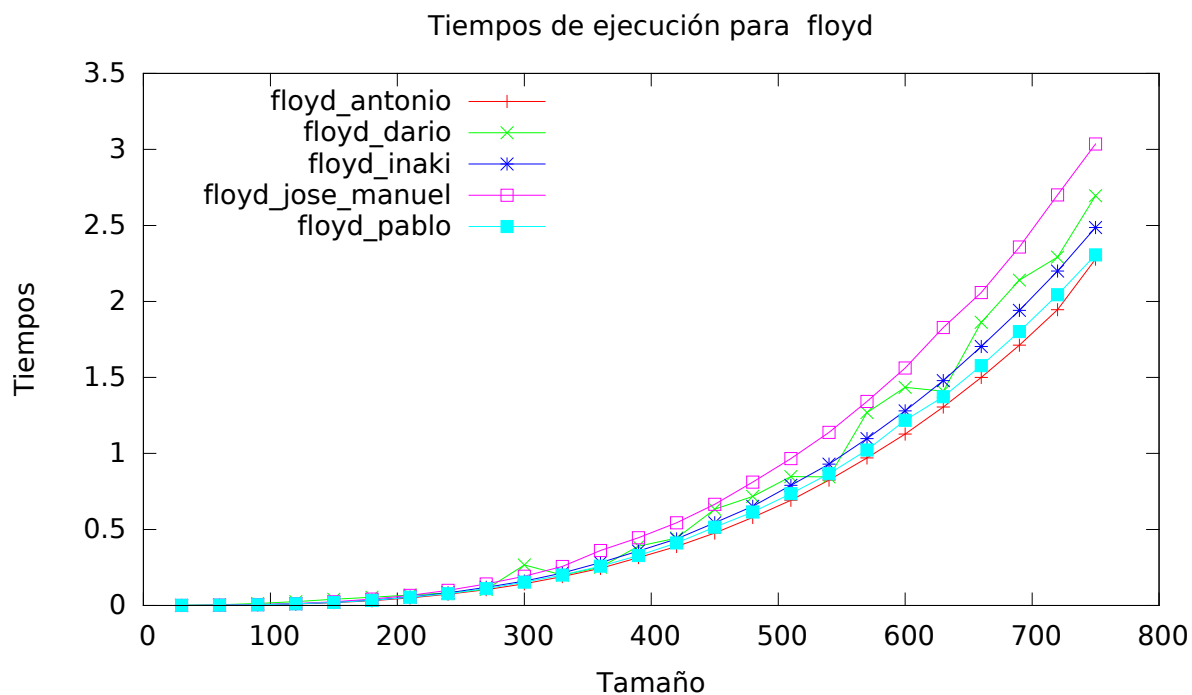


Figura 9: Algoritmo de Floyd (cúbico)

2.4. Gráfica del algoritmo de Fibonacci ($O(\varphi^n)$)

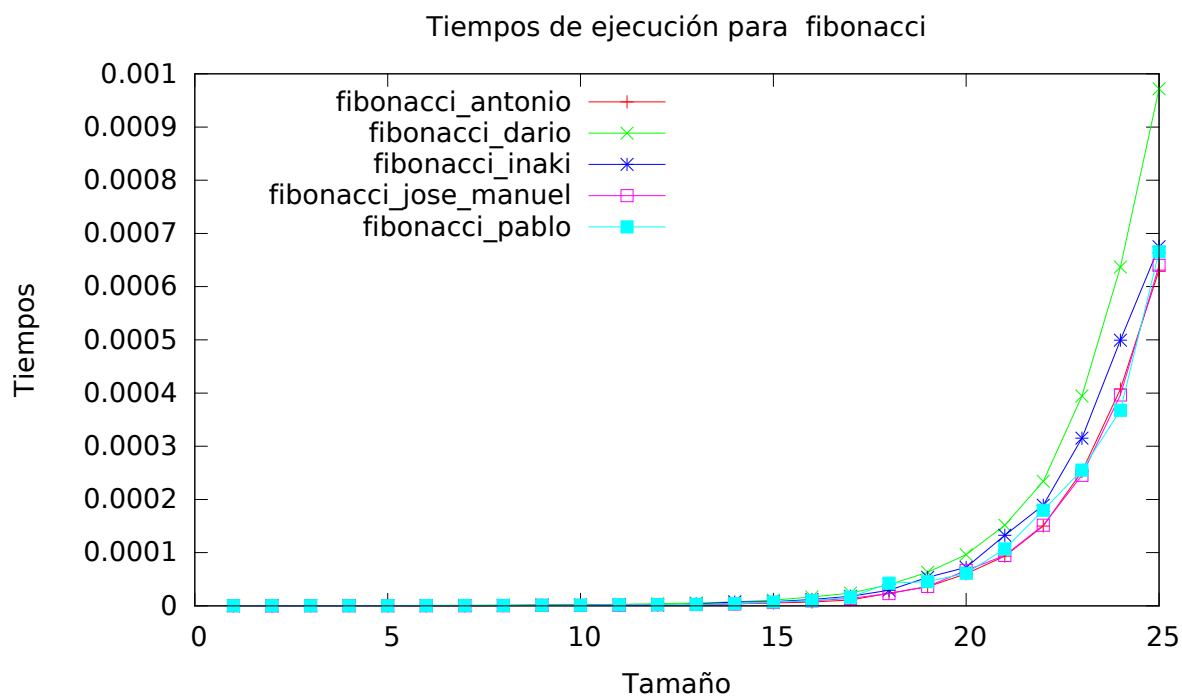


Figura 10: Algoritmo de Fibonacci

2.5. Gráfica del algoritmo de Hanoi ($O(2^n)$)

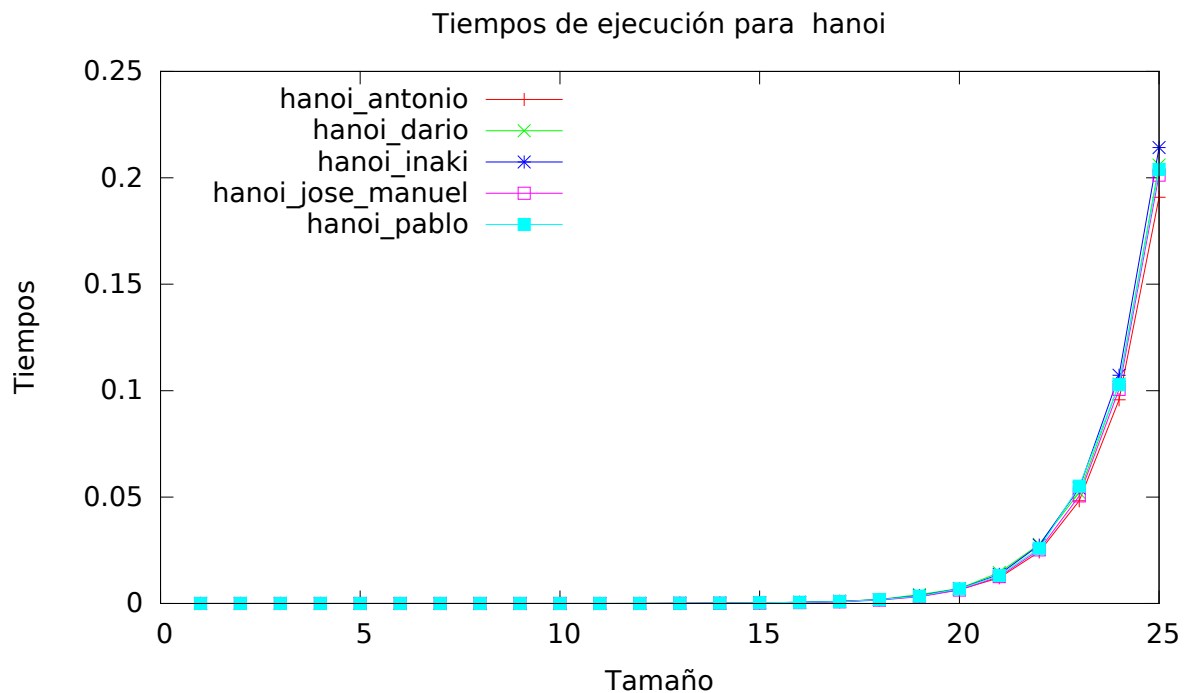


Figura 11: Algoritmo de Hanoi

2.6. Gráfica de los algoritmos de ordenación

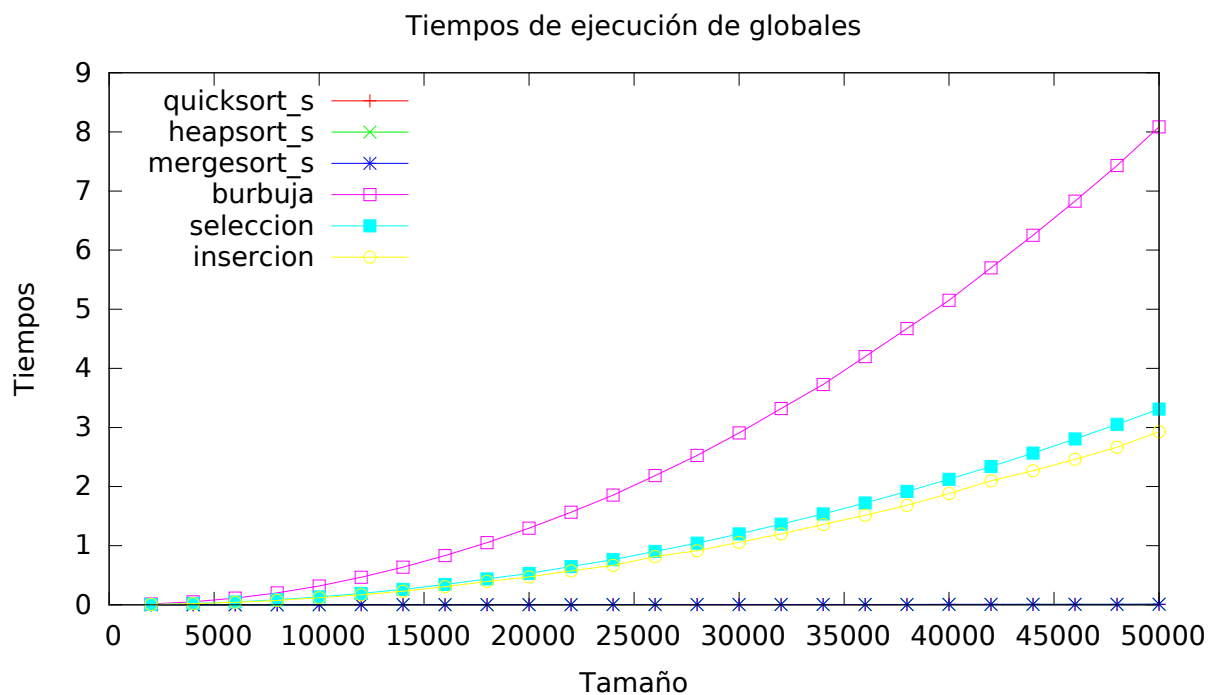


Figura 12: Algoritmos de ordenación

La diferencia en el tiempo de ejecución de los algoritmos de un orden de eficiencia y de otro provoca que los tiempos de los algoritmos de orden de eficiencia $n \cdot \log(n)$ se muestren como una línea horizontal.

3. Ejercicio 3

En las siguientes tablas incluimos el ajuste de los datos obtenidos por cada uno de los integrantes del grupo con una función representativa de su orden de eficiencia. Indicamos también el coeficiente de correlación lineal (r) entre los datos reales y la función obtenida entre paréntesis junto a la función en las tablas con más de un algoritmo y en su propia columna en el resto.

3.1. Eficiencia híbrida de los algoritmos cuadráticos

Persona	Burbuja
Antonio	$3,67 \cdot 10^{-9}n^2 - 3,02 \cdot 10^{-5}n + 0,189$ (0,99)
Darío	$89 \cdot 10^{-3} - 1,62 \cdot 10^{-5} \cdot n + 3 \cdot 10^{-9} \cdot n^2$ (0,99)
José Manuel	$3,85 \cdot 10^{-9}n^2 - 7,88 \cdot 10^{-6}n + 0,013$ (0,99)
Pablo	$3 \cdot 10^{-9}n^2 - 6 \cdot 10^{-6}n + 0,015$ (0,99)
Iñaki	$3,23 \cdot 10^{-9}n^2 + 1,36 \cdot 10^{-7}n - 2,52 \cdot 10^{-5}$ (0,99)
Persona	Inserción
Antonio	$1,21 \cdot 10^{-9}n^2 - 5,77 \cdot 10^{-6}n + 0,003$ (0,99)
Darío	$89 \cdot 10^{-3} + -1,62 \cdot 10^{-5} \cdot n + 1,68 \cdot 10^{-9} \cdot n^2$ (0,99)
José Manuel	$1,32 \cdot 10^{-9}n^2 + 4,95 \cdot 10^{-7}n - 0,0024$ (0,99)
Pablo	$10^{-9}n^2 + 4 \cdot 10^{-7}n + 0,002$ (0,99)
Iñaki	$1,18 \cdot 10^{-9}n^2 + 1,36 \cdot 10^{-7}n - 2,5 \cdot 10^{-5}$ (0,99)
Persona	Selección
Antonio	$1,459 \cdot 10^{-9}n^2 - 5,7 \cdot 10^{-6}n + 0,002$ (1)
Darío	$89 \cdot 10^{-3} - 1,616 \cdot 10^{-5} \cdot n + 1,59 \cdot 10^{-9} \cdot n^2$ (0,99)
José Manuel	$1,59 \cdot 10^{-9}n^2 + 2,93 \cdot 10^{-7}n - 0,0022$ (0,99)
Pablo	$10^{-9}n^2 - 2 \cdot 10^{-7}n + 0,004$ (1)
Iñaki	$1,31 \cdot 10^{-9}n^2 + 5,81 \cdot 10^{-7} - 0,002$ (0,99)

3.2. Eficiencia híbrida de los algoritmos $n \cdot \log(n)$

Persona	Heapsort
Antonio	$2,72 \cdot 10^{-8}n \log(n) - 0,55$ (0,999)
Darío	$2,56 \cdot 10^{-8}n \log(n) - 0,005$ (0,99)
José Manuel	$3,13 \cdot 10^{-8}n \log(n) - 0,37$ (0,99)
Pablo	$1,8 \cdot 10^{-8}n \log(n) - 1,9 \cdot 10^{-7}$ (0,995)
Iñaki	$2,46 \cdot 10^{-8}n \log(n) + 1,36 \cdot 10^{-7}$ (0,99)
Persona	Mergesort
Antonio	$1,918 \cdot 10^{-8}n \log(n) - 0,305$ (0,996)
Darío	$3,03 \cdot 10^{-8}n \log(x) - 0,004$ (0,99)
José Manuel	$2,29 \cdot 10^{-8}n \log(n) - 0,08$ (0,99)
Pablo	$2 \cdot 10^{-8}n \log(n) - 1,9 \cdot 10^{-7}$ (0,997)
Iñaki	$1,48 \cdot 10^{-8}n \log(n) + 1$ (0,99)
Persona	Quicksort
Antonio	$1,06 \cdot 10^{-8}n \log(n) - 0,083$ (0,999)
Darío	$1,46 \cdot 10^{-8} \cdot n \log(n) - 0,005$ (0,99)
José Manuel	$1,42 \cdot 10^{-8}n \log(n) + 0,02$ (0,99)
Pablo	$1,3 \cdot 10^{-8}n \log(n) - 1,9 \cdot 10^{-7}$ (0,999)
Iñaki	$1,12 \cdot 10^{-8}n \log(n) + 1,36 \cdot 10^{-7}$ (0,99)

3.3. Eficiencia híbrida del algoritmo de Floyd

Persona	Eficiencia híbrida de Floyd	r
Antonio	$6 \cdot 10^{-9}n^3 - 7,9 \cdot 10^{-7}n^2 - 2,17 \cdot 10^{-4}n + 0,012$	0,999
Darío	$6,98 \cdot 10^{-9} \cdot n^3 - 7,66 \cdot 10^{-7} \cdot n^2 + 0,0002 \cdot n - 0,005$	0,999
José Manuel	$6,88 \cdot 10^{-9}n^3 + 2,89 \cdot 10^{-7}n^2 - 4,44 \cdot 10^{-5}n + 0,001$	0,999
Pablo	$5,1 \cdot 10^{-9}n^3 + 3,8 \cdot 10^{-7}n^2 - 8,3 \cdot 10^{-5}n + 0,005$	1
Iñaki	$5,76 \cdot 10^{-9}n^3 + 1,36 \cdot 10^{-7}n^2 - 2,52 \cdot 10^{-5}n + 0,002$	0,999

3.4. Eficiencia híbrida del algoritmo de Fibonacci

Persona	Eficiencia híbrida de Fibonacci	r
Antonio	$3,81 \cdot 10^{-9}\varphi^n + 7,21 \cdot 10^{-7}$	0,999
Darío	$0,002 \cdot \varphi^n - 0,004$	0,999
José Manuel	$3,81 \cdot 10^{-9}\varphi^n + 9,68 \cdot 10^{-7}$	0,999
Pablo	$6,4 \cdot 10^{-9}\varphi^n - 1,8 \cdot 10^{-8}$	0,997
Iñaki	$4,29 \cdot 10^{-9}\varphi^n + 5,6 \cdot 10^{-6}$	0,995

3.5. Eficiencia híbrida del algoritmo de Hanoi

Persona	Eficiencia híbrida de Hanoi	r
Antonio	$5,69 \cdot 10^{-9}2^n + 1,1 \cdot 10^{-4}$	1
Darío	$6,38 \cdot 10^{-9} \cdot 2^n - 0,005$	0,984
José Manuel	$6,00 \cdot 10^{-9}2^n + 9,3 \cdot 10^{-6}$	0,999
Pablo	$6,1 \cdot 10^{-9}2^n + 1,1 \cdot 10^{-9}$	0,998
Iñaki	$6,39 \cdot 10^{-9}2^n + 9,48 \cdot 10^{-13}$	0,999

3.6. Eficiencia híbrida: Comparativa

Observaremos experimentalmente que si intentamos ajustar los datos de ejecución de los algoritmos con distintas funciones, la que produce un mejor ajuste es la que expresa su eficiencia en el caso medio.

Tomaremos un algoritmo tipo de cada clase de eficiencia y lo intentaremos ajustar mediante distintas curvas.

Algoritmos cuadráticos

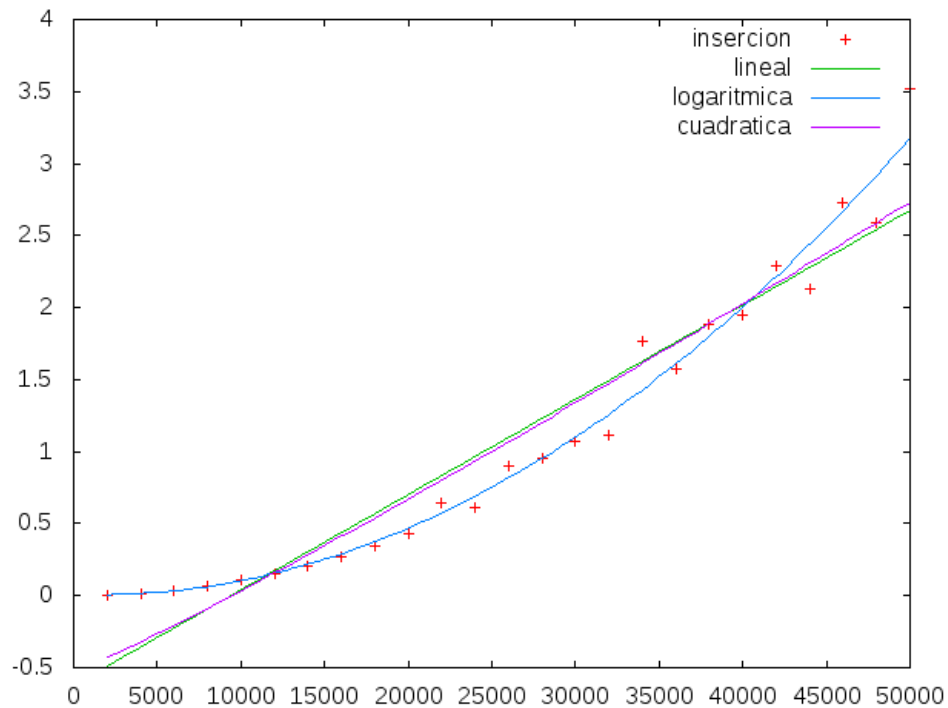


Figura 13: Comparativa Cuadráticos Híbrida

Como vemos la función cuadrática es la que mejor se ajusta a los datos.

Algoritmos $n \cdot \log(n)$

Vamos a aproximar los datos del *quicksort* con una función lineal y una logarítmica. Veremos que la aproximación lineal es mejor de lo que de primeras podríamos pensar.

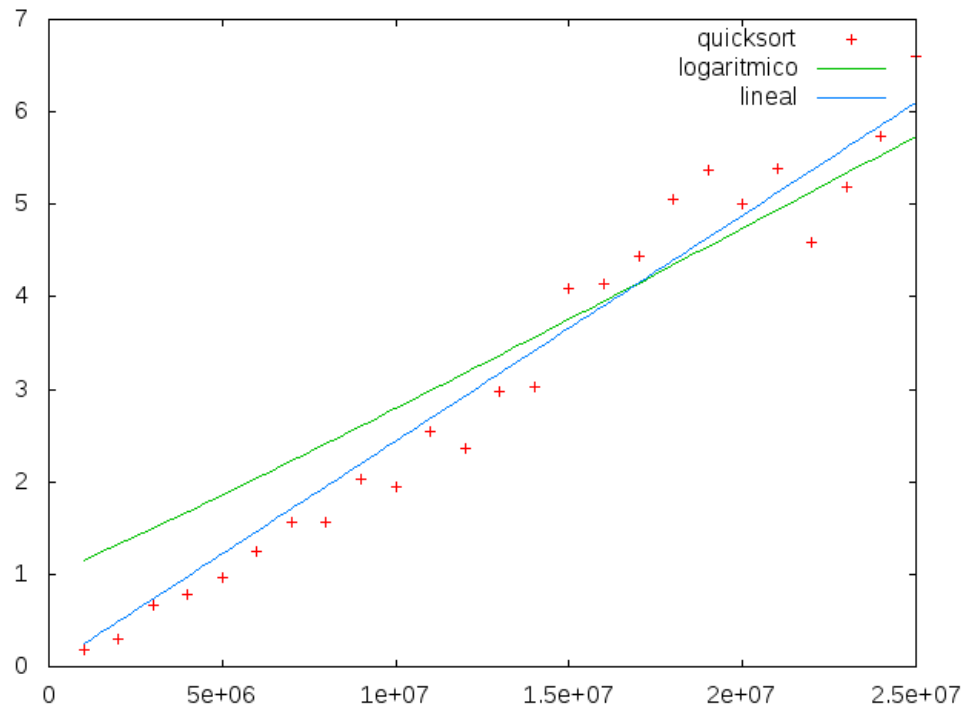


Figura 14: Comparativa Logarítmica Híbrida

Esto se debe a que el logaritmo es menor que cualquier raíz, asintóticamente; es por esto que la función $n \log(n)$ se comporta de una manera parecida a una lineal.

Algoritmos Exponenciales

Ejecutaremos el algoritmo de Hanói y lo compararemos con funciones polinómicas de diverso grado.

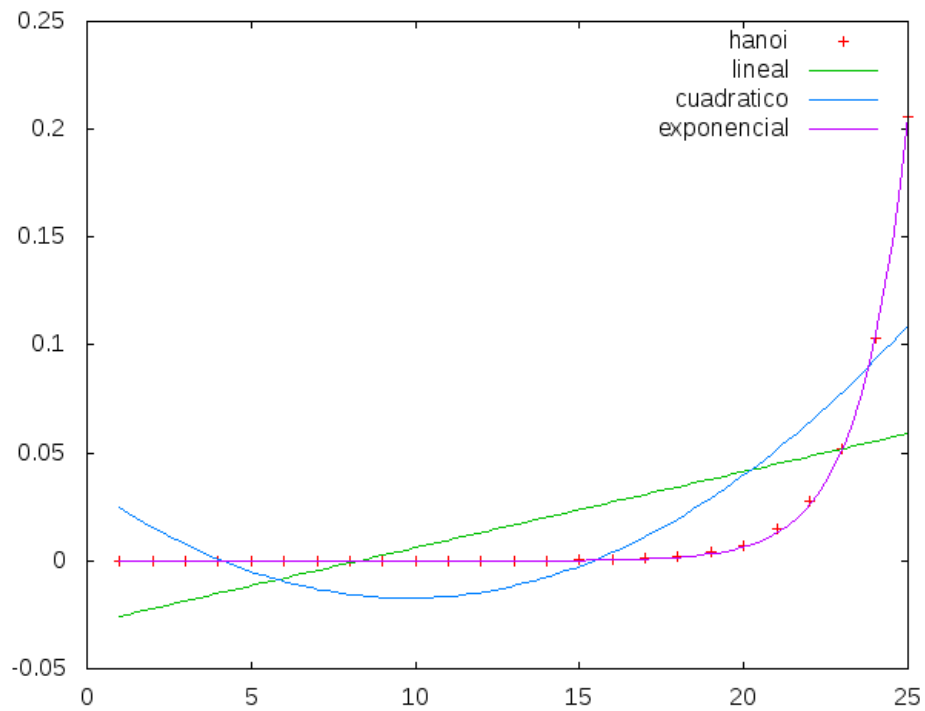


Figura 15: Comparativa Exponencial Híbrida

Como era de esperar, aproximar el crecimiento exponencial mediante funciones polinómicas es inviable. Cabe destacar que no hemos mostrado el ajuste cúbico porque el método de mínimos cuadrados devuelve una aproximación tan nefasta que se dejan de apreciar bien las demás funciones en la gráfica.

Algoritmos Cúbicos

Por último aproximaremos mediante las funciones que ya hemos tratado los datos resultantes de la ejecución del algoritmo cúbico de Floyd.

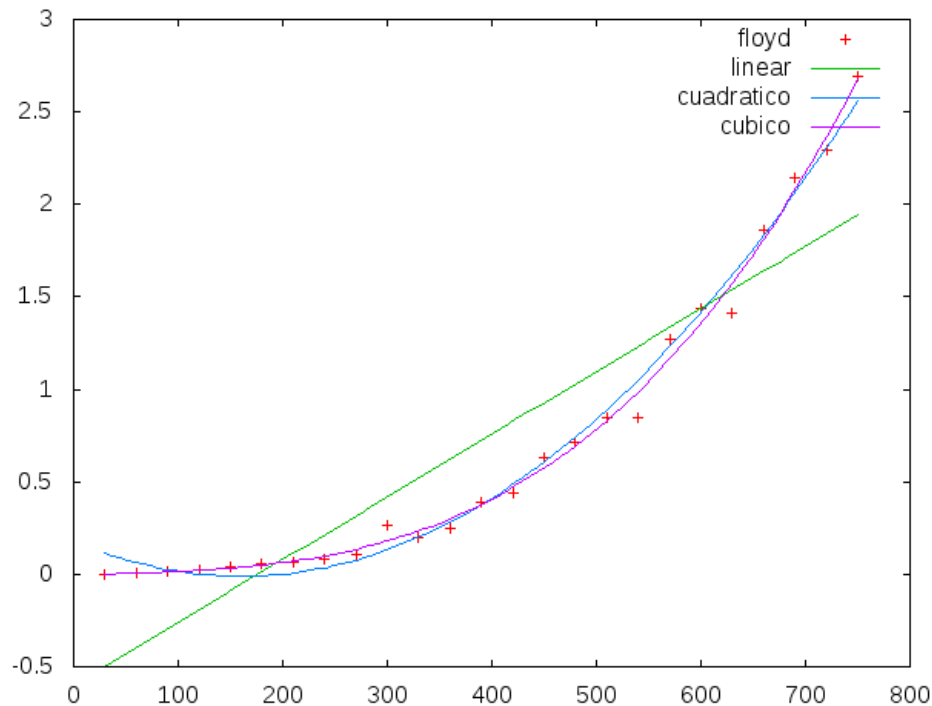


Figura 16: Comparativa Floyd Híbrida

Se ha de notar que no hemos intentado ajustar el algoritmo de Floyd con una función exponencial. Esto se debe a que dicho ajuste es tan poco realista que las constantes se salen del rango de precisión aritmética del programa empleado para su cálculo (gnuplot).

Por último queremos comentar la proximidad de las funciones cuadrática y cúbica, salvo para datos pequeños que ajusta mejor la cúbica; esto se debe a que las constantes difieren mucho y los datos son insuficientes, por tanto, en un pequeño intervalo las funciones pueden llegar a "parecerse".

4. Ejercicio 4

En el ejercicio 4 nos pedían ver cómo varía la eficiencia empírica según diversos factores. A lo largo de esta memoria hemos visto que el sistema operativo y el ordenador en el que se realizan los cálculos afectan ligeramente al resultado de la eficiencia, pero que asintóticamente se comportan de la misma manera.

En este apartado nos centraremos, por tanto, en el otro factor relevante: la optimización. Vamos a comparar los tiempos de los algoritmos anteriores cuando los compilamos con diferentes niveles de optimización. Acabaremos viendo que, al igual que los otros dos, la optimización puede mejorarnos el tiempo de ejecución, pero no variar la tendencia asintótica de la eficiencia.

También nos adentraremos en un hecho importante sobre la optimización. Si bien uno esperaría que cuanto más alto el nivel de optimización, mejor se comporta el algoritmo, esto no es siempre cierto. Esto es consecuencia de la implementación interna de los distintos niveles de optimización del compilador, en los que no tenemos pensado entrar, pero que ponen de relieve que debemos hacer un contraste de tiempos entre las versiones con optimización cuando estemos creando algún programa que necesite rapidez.

4.1. Optimización de Burbuja

Tamaño	O0	O1	O2	O3
2000	0,011413	0,00767027	0,00729825	0,00886811
4000	0,0453449	0,0174315	0,0176928	0,0188218
6000	0,101489	0,0384904	0,0332072	0,0414915
8000	0,181023	0,073721	0,0650689	0,0724921
10000	0,285049	0,124228	0,109425	0,10953
12000	0,412749	0,18656	0,163998	0,16372
14000	0,564313	0,262641	0,230543	0,230014
16000	0,736274	0,351798	0,308667	0,307852
18000	0,9231	0,450813	0,402396	0,400231
20000	1,14936	0,566283	0,496466	0,495054
22000	1,38726	0,692367	0,608456	0,609754
24000	1,64832	0,830683	0,736194	0,729921
26000	1,93603	0,983933	0,869556	0,865144
28000	2,24947	1,15135	1,00542	1,01213
30000	2,56848	1,33711	1,16349	1,16509
32000	2,92343	1,53865	1,33626	1,33301
34000	3,31074	1,74399	1,51139	1,51782
36000	3,71294	1,95579	1,70749	1,71322
38000	4,16954	2,19283	1,89924	1,93158
40000	4,74451	2,44766	2,11777	2,1556
42000	5,26566	2,70633	2,3327	2,40839
44000	5,87307	2,97798	2,56785	2,70971
46000	6,53502	3,25714	2,82431	3,00307
48000	7,32794	3,5752	3,0812	3,29677
50000	8,1269	3,92439	3,36591	3,64032

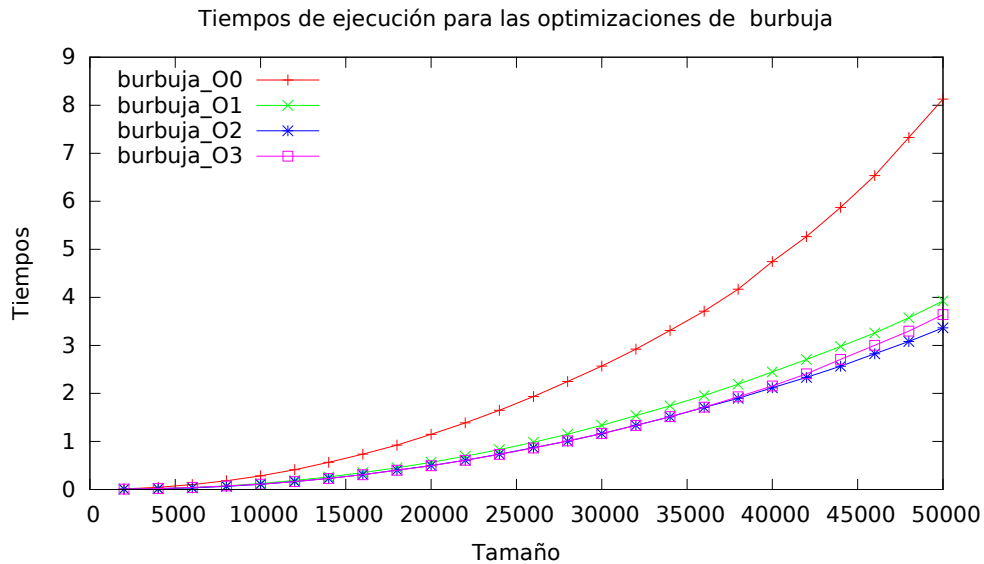


Figura 17: Optimización Burbuja

Tanto en la última fila de la tabla como en la gráfica podemos notar que el primer nivel de optimización nos baja considerablemente el tiempo de ejecución. Como en la mayoría de otros algoritmos, la optimización de nivel 1 se encuentra un poco por encima de las otras dos, que van alternándose. Aun así, podemos apreciar una leve ventaja del nivel 2 frente al 3.

4.2. Optimización de Selección

Tamaño	O0	O1	O2	O3
2000	0,00515467	0,00518568	0,00295874	0,00781173
4000	0,019939	0,014322	0,0105633	0,0231289
6000	0,0433264	0,0220253	0,0143769	0,0405819
8000	0,0764116	0,0337371	0,0226186	0,0421702
10000	0,121217	0,0446664	0,0325282	0,0535996
12000	0,177811	0,0540817	0,0428159	0,0716839
14000	0,244628	0,0645687	0,0581941	0,0972
16000	0,320919	0,0764816	0,0755991	0,127552
18000	0,410265	0,0952006	0,0954893	0,162643
20000	0,509134	0,117962	0,117173	0,202739
22000	0,61807	0,142821	0,142361	0,248662
24000	0,739096	0,170087	0,168087	0,29886
26000	0,872412	0,202472	0,197149	0,347695
28000	1,01093	0,236475	0,232414	0,403681
30000	1,16345	0,26976	0,271271	0,466755
32000	1,33592	0,308442	0,298858	0,530757
34000	1,50895	0,347973	0,335636	0,602817
36000	1,70088	0,39664	0,378081	0,676565
38000	1,91222	0,438568	0,418638	0,753679
40000	2,12327	0,485922	0,467527	0,836347
42000	2,35229	0,538412	0,513721	0,930382
44000	2,60759	0,591486	0,561665	1,02398
46000	2,8435	0,645382	0,613942	1,12764
48000	3,11111	0,706955	0,668329	1,23934
50000	3,40647	0,766349	0,725693	1,3503

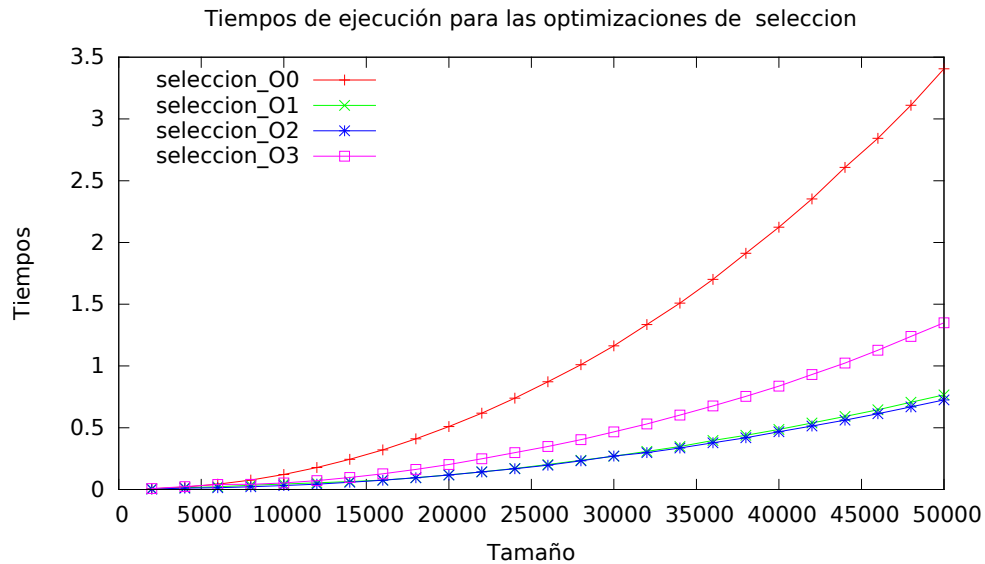


Figura 18: Optimización Selección

En este algoritmo podemos apreciar lo que se mencionaba antes: el nivel 3 no es el más rápido siempre. Unas razones de por qué afecta más en unos algoritmos que en otros es la capacidad de la caché junto a la gestión del algoritmo de sus propios datos. En este caso, el algoritmo peor parado es selección, que aplica menos intercambios que inserción, pero que realiza más comparaciones.

4.3. Optimización de Inserción

Tamaño	O0	O1	O2	O3
2000	0,0044917	0,00195844	0,00468466	0,00632375
4000	0,0186884	0,00730802	0,011605	0,0158228
6000	0,0377812	0,0137966	0,0194001	0,0252668
8000	0,0669812	0,0233589	0,0324477	0,0403882
10000	0,107932	0,037316	0,0457049	0,0458144
12000	0,154884	0,0521311	0,0622211	0,0609401
14000	0,213453	0,0710041	0,0841461	0,0828928
16000	0,280269	0,0935783	0,10946	0,108517
18000	0,368311	0,120639	0,138311	0,137761
20000	0,443013	0,150077	0,173783	0,168523
22000	0,541246	0,181517	0,21135	0,206084
24000	0,649446	0,217471	0,263303	0,248386
26000	0,760331	0,257764	0,301838	0,295198
28000	0,882182	0,282926	0,34644	0,335562
30000	1,03487	0,336947	0,390829	0,383697
32000	1,18717	0,390892	0,452143	0,438392
34000	1,33726	0,444824	0,492365	0,497819
36000	1,51744	0,500244	0,552547	0,557171
38000	1,70203	0,557174	0,613258	0,624803
40000	1,87561	0,613763	0,683716	0,696917
42000	2,08887	0,679748	0,747116	0,773843
44000	2,30682	0,746035	0,821289	0,846906
46000	2,54603	0,820299	0,895795	0,927429
48000	2,79809	0,891268	0,976704	1,02405
50000	3,02904	0,987499	1,05693	1,11367

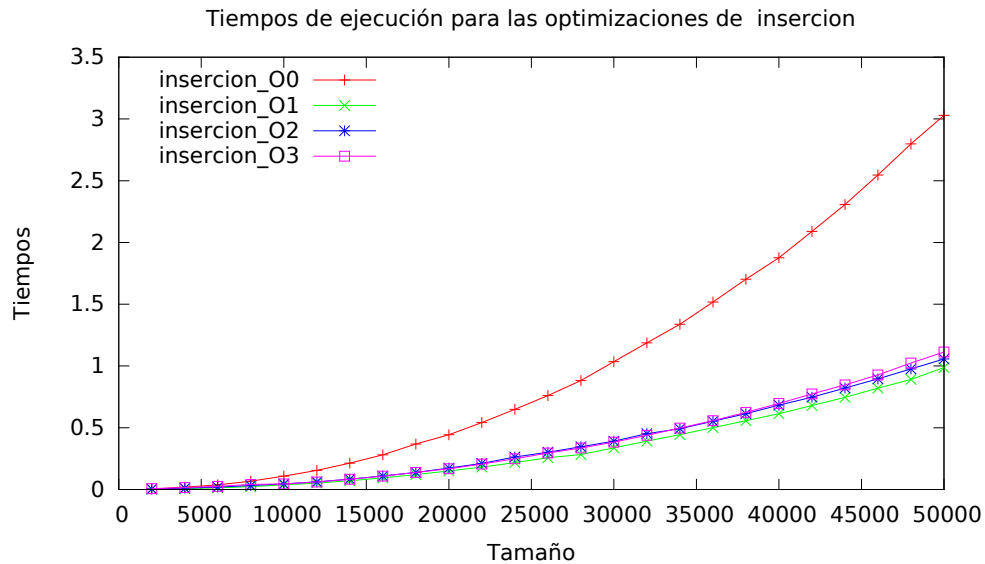


Figura 19: Optimización Inserción

De nuevo, notamos que la diferencia entre optimizar y no hacerlo es notable. En este caso, la diferencia entre las tres optimizaciones es prácticamente nula, así que no tiene mucho sentido sacar información de ahí.

4.4. Optimización de Quicksort

Tamaño	O0	O1	O2	O3
1000000	0,140354	0,108984	0,0723194	0,145934
2000000	0,290671	0,156802	0,160161	0,149131
3000000	0,451042	0,246713	0,254127	0,234554
4000000	0,609228	0,342867	0,349069	0,318788
5000000	0,768809	0,4443	0,444097	0,413716
6000000	0,939232	0,538326	0,544886	0,492602
7000000	1,09785	0,63253	0,631983	0,581733
8000000	1,26473	0,666134	0,742487	0,674327
9000000	1,43536	0,744798	0,842272	0,768711
10000000	1,62045	0,826848	0,941442	0,854967
11000000	1,79408	0,928571	1,03906	0,95514
12000000	1,95441	1,01002	1,14623	1,0418
13000000	2,12925	1,11231	1,2527	1,15554
14000000	2,30318	1,22047	1,35309	1,24338
15000000	2,45234	1,49	1,45845	1,34034
16000000	2,62369	1,5982	1,54854	1,44701
17000000	2,81701	1,70221	1,69107	1,52156
18000000	3,02744	1,81955	1,76673	1,60615
19000000	3,26244	1,94608	1,89436	1,74194
20000000	3,44172	2,06746	2,01535	1,84022
21000000	3,69781	2,17781	2,11261	1,8951
22000000	3,94126	1,99071	2,23865	2,03436
23000000	4,20059	2,0863	2,38896	2,12836
24000000	4,36635	2,53774	2,49616	2,24849
25000000	4,59738	2,68214	2,59766	2,34848

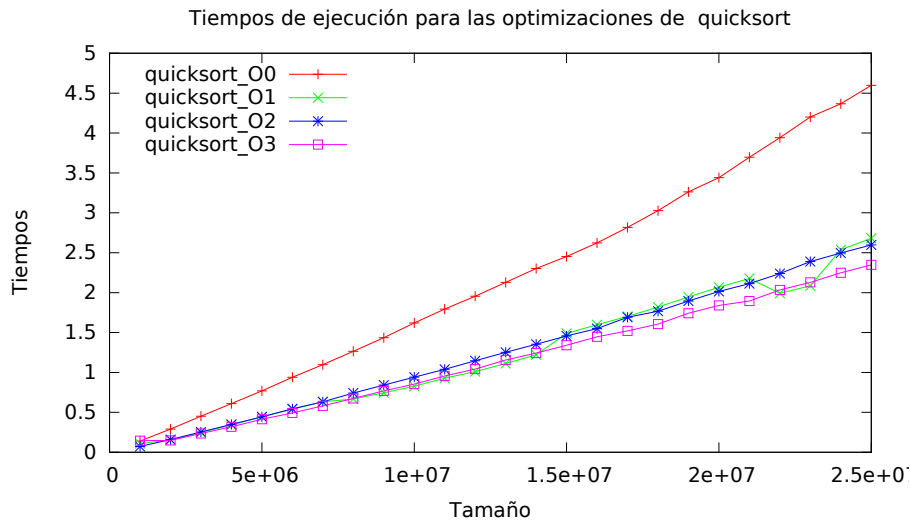


Figura 20: Optimización Quicksort

El Quicksort es el algoritmo más rápido de todos los que estamos sacando de relieve, por lo que podemos apreciar un dato importante, observando un momento las tablas. El Quicksort está por debajo de la versión optimizada del Mergesort. Para 25 millones de datos, el Quicksort tarda 4,5 segundos mientras que el Mergesort con nivel 1 de optimización tarda 3,76 segundos. Lo arreglamos fácilmente optimizando también el Quicksort, lo cual lo sigue dejando el más rápido de todos, bajando a 2,34 segundos en nivel 3.

4.5. Optimización de Mergesort

Tamaño	O0	O1	O2	O3
1000000	0,217543	0,14913	0,155871	0,142481
2000000	0,453951	0,222821	0,216717	0,200155
3000000	0,782204	0,36456	0,376277	0,397549
4000000	0,942283	0,467165	0,479917	0,506261
5000000	1,35111	0,605842	0,626561	0,673165
6000000	1,64402	0,768339	0,792216	0,848724
7000000	1,73735	0,83704	0,851907	0,897172
8000000	2,05693	0,979482	0,99871	1,05081
9000000	2,41358	1,12709	1,15498	1,21198
10000000	2,59924	1,28209	1,33451	1,39942
11000000	2,97113	1,45494	1,51848	1,33572
12000000	3,37961	1,62648	1,70929	1,52628
13000000	3,73061	1,76984	1,86878	1,66805
14000000	3,67511	1,78486	1,85468	1,64051
15000000	4,10348	1,94386	2,01848	2,07944
16000000	4,44356	2,1014	2,18132	2,23598
17000000	4,85593	2,28211	2,35156	2,44318
18000000	5,33545	2,45917	2,5384	2,20835
19000000	5,69309	2,64892	2,7174	2,3847
20000000	6,09616	2,82851	2,91747	2,58527
21000000	6,56725	3,00782	3,05882	2,74309
22000000	6,99638	3,17541	3,27018	2,90998
23000000	7,37357	3,35114	3,45721	3,10196
24000000	7,85359	3,58095	3,68085	3,27219
25000000	8,30719	3,76735	3,90997	4,03064

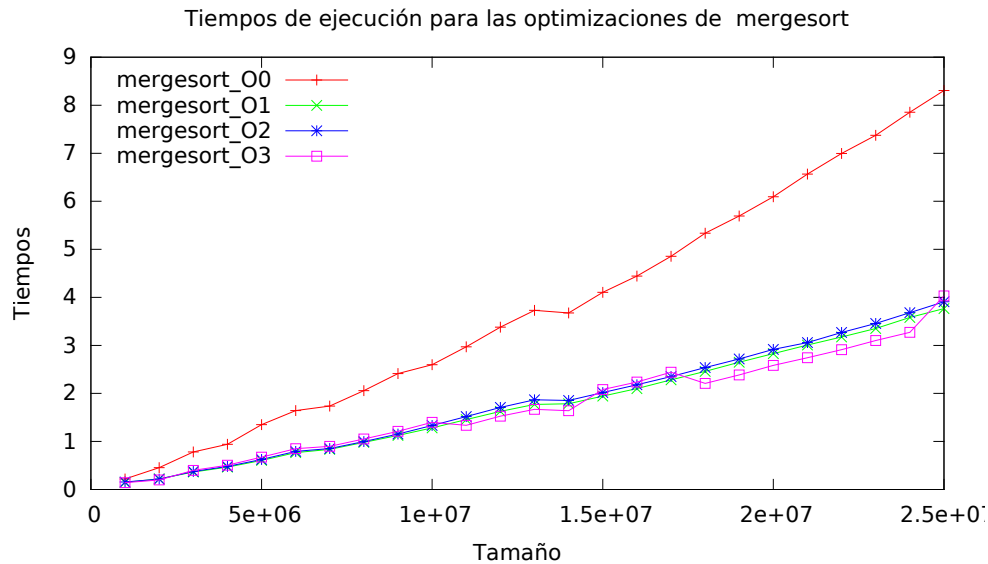


Figura 21: Optimización Mergesort

En el Mergesort podemos notar, como lo hicimos cuando vimos su subida en el apartado 1 de esta memoria, los escalones que forma cuando cambia el tamaño con el que aplica inserción, pero esta vez en los demás niveles de optimización. La diferencia entre los niveles de optimización en este caso es también nula.

4.6. Optimización de Heapsort

Tamaño	O0	O1	O2	O3
1000000	0,22421	0,162612	0,189088	0,124874
2000000	0,500762	0,273371	0,244746	0,241887
3000000	0,833796	0,481102	0,409636	0,415654
4000000	1,17323	0,7742	0,610973	0,607138
5000000	1,54404	0,996273	0,776043	0,797603
6000000	1,9243	1,37394	0,985671	1,00536
7000000	2,35331	1,64974	1,20662	1,18956
8000000	2,76399	2,12896	1,4108	1,39054
9000000	3,20945	2,41538	1,59403	1,65914
10000000	3,62159	2,84488	1,84175	1,8471
11000000	4,09924	3,23755	2,06092	2,05358
12000000	4,63249	3,64295	2,29729	2,30546
13000000	5,0709	4,02955	2,52116	2,54731
14000000	5,55749	4,49345	2,76215	2,79191
15000000	6,13142	4,81149	3,06052	3,02149
16000000	6,57542	5,38016	3,32291	3,27649
17000000	7,11513	5,97832	3,9232	3,5468
18000000	7,60767	6,24962	4,19137	3,80012
19000000	8,18748	6,70817	4,43557	4,11741
20000000	8,6704	7,25184	4,95784	4,41006
21000000	9,14739	7,9527	4,99053	4,66293
22000000	9,68533	7,96672	5,24068	4,98344
23000000	10,1561	8,50889	5,59346	5,2685
24000000	10,6587	9,2256	5,93449	5,72653
25000000	11,2477	9,74256	6,22192	5,78521

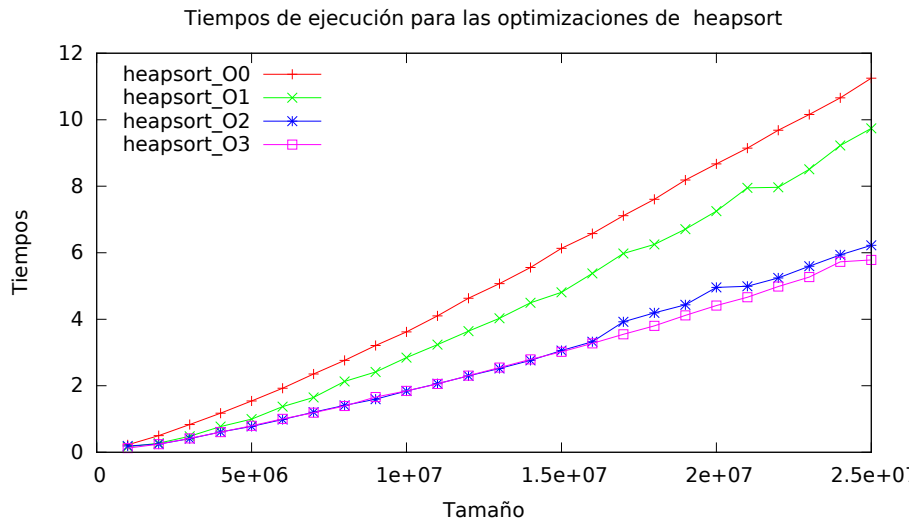


Figura 22: Optimización Heapsort

Llegamos al Heapsort, con el que nos encontramos que, aunque pareciese que el nivel 1 se comportaba de una forma parecida a los otros dos niveles, puede haber casos en los que no nos haga mucha disminución de tiempo, como aquí. Los tiempos del Heapsort normal con respecto al de nivel 1 no cambian tanto como en los anteriores algoritmos que veíamos, mientras que los otros dos niveles ya nos bajan a la mitad del tiempo, como antes. Las causas de esto recaen sobre la implementación interna de los niveles de optimización y, de nuevo, sobre la gestión del algoritmo de sus datos.

4.7. Optimización de Floyd

Tamaño	O0	O1	O2	O3
30	0,000224592	0,00011651	5,3519e-05	8,2696e-05
60	0,00139668	0,000824097	0,000434777	0,00066088
90	0,00455954	0,00221353	0,00143882	0,0017947
120	0,0097123	0,00552435	0,00333	0,003445
150	0,0186866	0,00662406	0,00634183	0,00455262
180	0,0314451	0,0111573	0,00524036	0,00537472
210	0,0493398	0,0161588	0,0079134	0,00841322
240	0,0735784	0,0223456	0,0118256	0,0121501
270	0,104221	0,029449	0,0166624	0,0174797
300	0,142323	0,0374595	0,0227272	0,0226334
330	0,189639	0,04001	0,0301813	0,0301163
360	0,244835	0,0530836	0,0393631	0,0403175
390	0,314773	0,0663636	0,052403	0,0504283
420	0,38828	0,0816097	0,0615897	0,0625458
450	0,477007	0,0991475	0,0802832	0,0778467
480	0,579336	0,121864	0,0910224	0,0951062
510	0,692464	0,14376	0,114807	0,115598
540	0,824832	0,169778	0,128893	0,136475
570	0,970557	0,201297	0,151532	0,161607
600	1,12768	0,243252	0,17859	0,192296
630	1,30571	0,269596	0,207239	0,227301
660	1,50015	0,309459	0,236404	0,252319
690	1,71206	0,355785	0,271002	0,288827
720	1,94615	0,402889	0,309074	0,328996
750	2,27876	0,456356	0,349434	0,374203

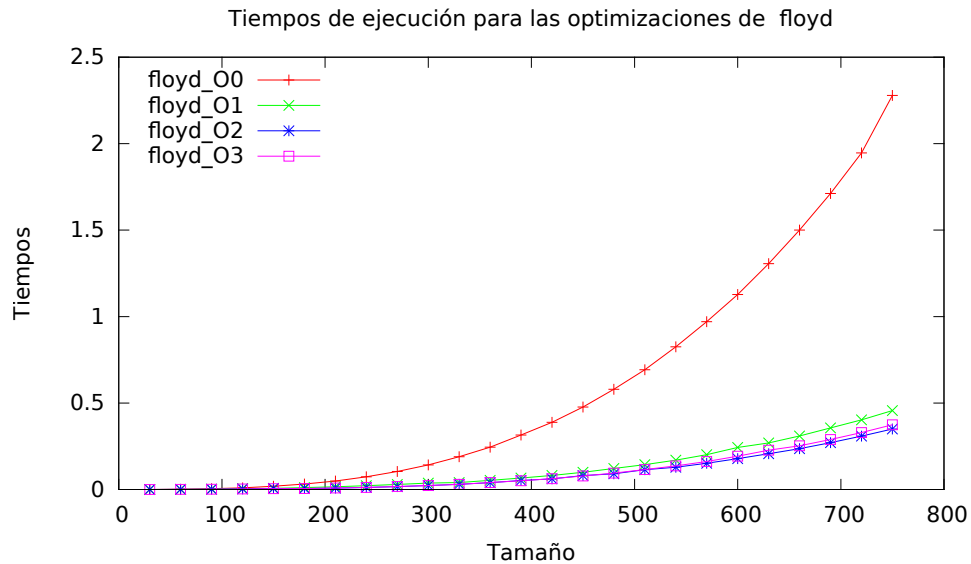


Figura 23: Optimización Floyd

En Floyd podemos presenciar cómo de importante puede ser optimizar, puesto que las curvas que realizan las optimizaciones son mucho más suaves que la del original. Si bien la distancia entre ellos para 750 datos es de 2 segundos, las pendientes de las curvas sugieren que esta distancia aumenta considerablemente en pocos datos más.

4.8. Optimización de Fibonacci

Tamaño	O0	O1	O2	O3
1	1,44e-07	3,74e-07	4,1e-07	4,05e-07
2	1,66e-07	4,1e-07	3,73e-07	3,28e-07
3	1,68e-07	4,14e-07	4,09e-07	2,58e-07
4	2,13e-07	4,04e-07	4,34e-07	3,41e-07
5	3,51e-07	6,09e-07	4,66e-07	3,84e-07
6	2,56e-07	4,69e-07	5,09e-07	3,21e-07
7	4,33e-07	6,5e-07	6,21e-07	4,85e-07
8	6,82e-07	6,61e-07	7,88e-07	6,11e-07
9	8,29e-07	1,177e-06	9,62e-07	7,74e-07
10	1,129e-06	1,279e-06	1,214e-06	1e-06
11	1,508e-06	1,748e-06	1,417e-06	8,91e-07
12	2,103e-06	2,173e-06	1,901e-06	1,345e-06
13	2,937e-06	3,159e-06	2,467e-06	2,21e-06
14	4,122e-06	4,288e-06	3,647e-06	3,337e-06
15	5,257e-06	6,368e-06	5,443e-06	4,03e-06
16	7,144e-06	9,167e-06	7,527e-06	5,865e-06
17	1,1107e-05	1,4243e-05	1,1615e-05	8,258e-06
18	2,3568e-05	2,2602e-05	1,8075e-05	1,298e-05
19	3,6087e-05	3,5879e-05	2,8786e-05	1,6151e-05
20	6,0297e-05	5,7232e-05	4,3465e-05	2,8727e-05
21	9,3336e-05	9,188e-05	7,0517e-05	4,4614e-05
22	0,000150115	0,000148022	8,5657e-05	6,9375e-05
23	0,000252328	0,000238767	0,00013781	0,00011195
24	0,000407404	0,000366446	0,000223523	0,00017296
25	0,000630981	0,000592224	0,000359381	0,000286624

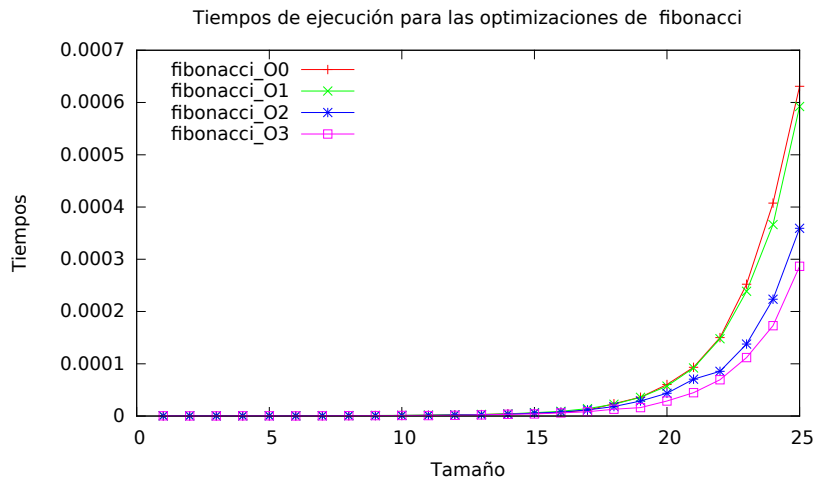


Figura 24: Optimización Fibonacci

Aquí encontramos un problema para sacar información, puesto que los tiempos de ejecución para 25 datos son muy pequeños en Fibonacci, y en las gráficas no notamos mucho cambio. Sin embargo, si nos ayudamos de las tablas, podremos fijarnos en que el nivel O0 se encuentra cerca de dos veces el nivel O3 en la mayoría de los puntos. Esto sugiere que aunque no lo veamos, la diferencia entre un ejecutable y otro es prácticamente la misma que hemos visto anteriormente, y el original tarda el doble del tiempo en ejecutarse. Por otro lado, el nivel 1 tampoco nos ofrece mucha mejora, como ocurría con el Heapsort.

4.9. Optimización de Hanói

Tamaño	O0	O1	O2	O3
1	1,79e-07	2,03e-07	3,96e-07	3,6e-07
2	2,04e-07	3,01e-07	6,21e-07	5,05e-07
3	2,85e-07	3,43e-07	6,5e-07	4,77e-07
4	4,31e-07	3,5e-07	9,66e-07	6,56e-07
5	6,54e-07	4,43e-07	1,256e-06	6,19e-07
6	9,35e-07	6,41e-07	1,636e-06	9,81e-07
7	1,491e-06	9,51e-07	2,128e-06	1,641e-06
8	2,662e-06	1,447e-06	2,964e-06	2,851e-06
9	4,721e-06	2,48e-06	4,946e-06	3,05e-06
10	8,768e-06	4,672e-06	8,532e-06	5,089e-06
11	1,7136e-05	8,941e-06	1,4424e-05	8,668e-06
12	3,3296e-05	1,7003e-05	2,5717e-05	1,3605e-05
13	6,5735e-05	2,4637e-05	5,0217e-05	2,3284e-05
14	0,0001304	4,9032e-05	6,7803e-05	4,1373e-05
15	0,000260012	9,7351e-05	0,000134952	7,8462e-05
16	0,0004433	0,00019381	0,000269344	0,000151553
17	0,000772841	0,000387059	0,000577299	0,000286237
18	0,00179249	0,00101027	0,00108913	0,000578022
19	0,0034136	0,0017006	0,00207058	0,000971253
20	0,00649934	0,00343554	0,00420165	0,00174248
21	0,0121097	0,00643389	0,00811653	0,00335663
22	0,0242689	0,0126319	0,0156326	0,00719406
23	0,0482416	0,0247289	0,0296915	0,0144126
24	0,0957113	0,0488883	0,0491909	0,0286313
25	0,19084	0,0969232	0,0829641	0,0535821

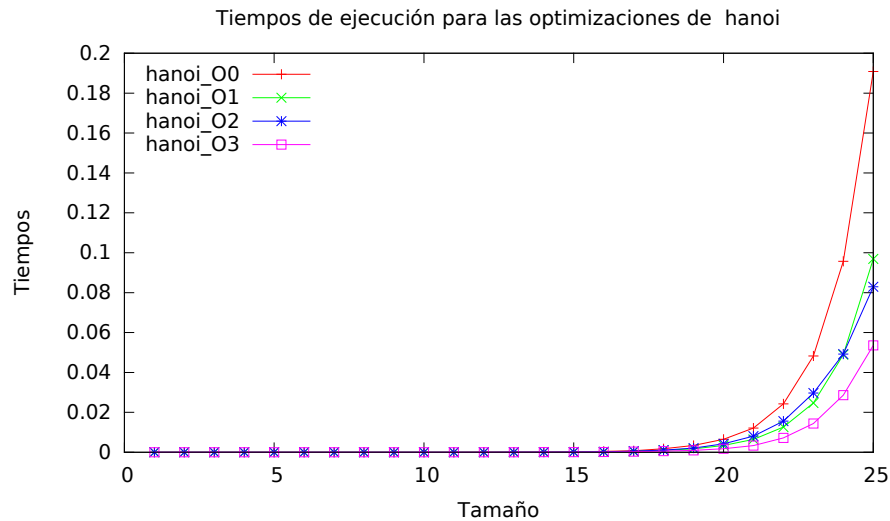


Figura 25: Optimización Hanói

Por último, el algoritmo de Hanói que es el más lento de todos. Al ser exponencial, de nuevo, como en Fibonacci, la gráfica solo nos muestra algo de información en los últimos puntos, antes de dispararse. Pero allí podemos ver que las pendientes de las curvas del original superan a los de las versiones optimizadas, que dibujan una curva mucho más suave. Conforme más avancemos aumentando el tamaño, más pronunciada será la diferencia entre estos ejecutables. Esta vez el nivel 3 es el que más mejora ofrece.

4.10. Conclusión

Como conclusión podemos decir que es prioritario optimizar si queremos sacar el máximo juego a nuestros algoritmos, pero que debemos comparar los tres niveles de optimización con algún sencillo test como los anteriores, para quedarnos con el nivel que más mejore la gestión del algoritmo.

Por otro lado, si bien una buena optimización puede aligerarnos la carga del algoritmo en tiempo, no podrá deshacerse de su tendencia asintótica. Prueba de ello es que en todos los datos que hemos recogido, las optimizaciones rondaban la mitad del tiempo del original, lo cual no cambia la tendencia en tamaños grandes. Así que, aunque pueden ser muy provechosas, no podemos confiar solo en las optimizaciones al compilar para hacer una verdadera mejora en el tiempo de nuestro algoritmo.